



## รายงานวิจัยฉบับสมบูรณ์

โครงการ “การวิเคราะห์สภาพอากาศและการเฝ้า  
ระวังการเกิดมลภาวะอากาศ”

โดย

รศ.ดร.เจียมใจ เครือสุวรรณ และคณะ

พฤษภาคม 2551

สัญญาเลขที่ RDG5130002

## รายงานวิจัยฉบับสมบูรณ์

### โครงการ “การวิเคราะห์สภาพอากาศและการเฝ้าระวัง การเกิดมลภาวะอากาศ”

#### คณะผู้วิจัย

#### สังกัด

- |                                    |                            |
|------------------------------------|----------------------------|
| 1. รศ.ดร.เจียมใจ เครือสุวรรณ       | มหาวิทยาลัยเชียงใหม่       |
| 2. นายชาคริต โชคอมรศักดิ์          | มหาวิทยาลัยเชียงใหม่       |
| 3. นางสาวอรุณรัตน์ วิรัลห์เวชยันต์ | มหาวิทยาลัยเชียงใหม่       |
| 4. นายภาคภูมิ รัตน์จิราธุกุล       | มหาวิทยาลัยราชภัฏเชียงใหม่ |

ชุดโครงการ “โครงการนำร่องเพื่อพัฒนาระบบเฝ้าระวังคุณภาพอากาศใน  
แอ่งเชียงใหม่ – ลำพูน ”

สนับสนุนโดยสำนักงานกองทุนสนับสนุนการวิจัย (สกว.)  
(ความเห็นในรายงานนี้เป็นของผู้วิจัย สกว. ไม่จำเป็นต้องเห็นด้วยเสมอไป)

## บทสรุปผู้บริหาร

การจำลองสภาพอากาศในแอ่งเชียงใหม่-ลำพูน ด้วยแบบจำลองสภาพอากาศภูมิภาค (MM5) ได้ดำเนินการในช่วงเดือนกรกฎาคม-มีนาคม พ.ศ.2549 และ พ.ศ.2550 เพื่อวิเคราะห์สภาพอากาศในช่วงเกิดปัญหาหมอกควันในอดีตที่ปริมาณฝุ่นละอองขนาดเล็กมีค่าสูง ทำให้ทราบถึงสภาวะและเงื่อนไขในการเกิดปัญหาหมอกควันในแอ่งเชียงใหม่-ลำพูน ดังนี้

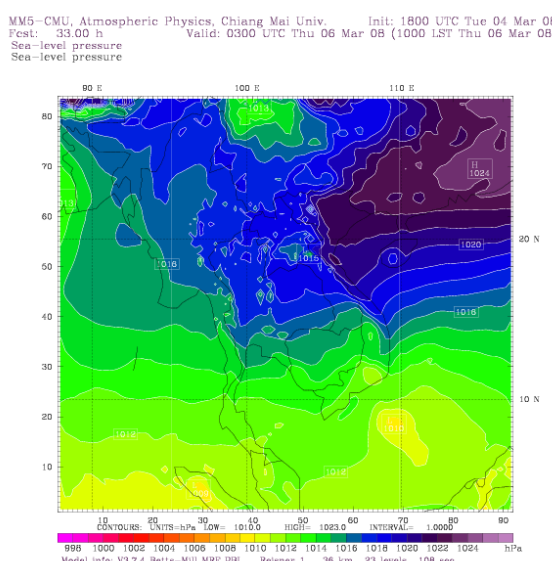
- ก. สภาพภูมิประเทศที่เป็นแอ่งทำให้มีการเคลื่อนที่ลงของอากาศตามแนวไหหล่เชา และเป็นลมอ่อนในบริเวณแอ่ง การพัดพาฝุ่นละอองออกไปตามแนวราบเป็นไปได้น้อย
- ข. ความกดอากาศสูงจากประเทศไทยแผ่นดินใหญ่ที่สกัดยา ยังผลให้อากาศมีเสถียรภาพมาก การเคลื่อนที่ขึ้น-ลงตามแนวดิ่งของอากาศเป็นไปได้ยาก ซึ่งเมื่อฝนเป็นผู้กันการฟุ้งกระจายขึ้นไปของฝุ่นละออง
- ค. ทิศทางและขนาดความเร็วลมที่พัดจากบริเวณนอกแอ่ง ประกอบกับสภาพถ่าย hot spots ที่บ่งชี้ถึงบริเวณที่มีการเผาไหม้ภายในและภายนอกแอ่ง ออาทิเช่น ไฟป่า การเผาลังการเกษตร อันเป็นที่มาของแหล่งกำเนิดฝุ่นละออง
- ง. การวิเคราะห์จากแผนภาพ skew-T ทำให้ทราบว่าบรรยายอากาศมีเสถียรภาพมากเมื่อเกิดอุณหภูมิผิดผัน ซึ่งเป็นอุปสรรคต่อการฟุ้งกระจายตามแนวดิ่งของฝุ่นละออง
- จ. อากาศแห้งช่วงฤดูแล้ง เดือนกรกฎาคม-มีนาคม 2549-2550 เป็นสภาพปกติที่ไม่มีฝนตก

การเฝ้าระวังปัญหาหมอกควันในแอ่งเชียงใหม่-ลำพูนในช่วงเดือนกรกฎาคม-ต้นเดือนเมษายน พ.ศ.2551 ได้มีการดำเนินการเป็นขั้นตอน ดังนี้

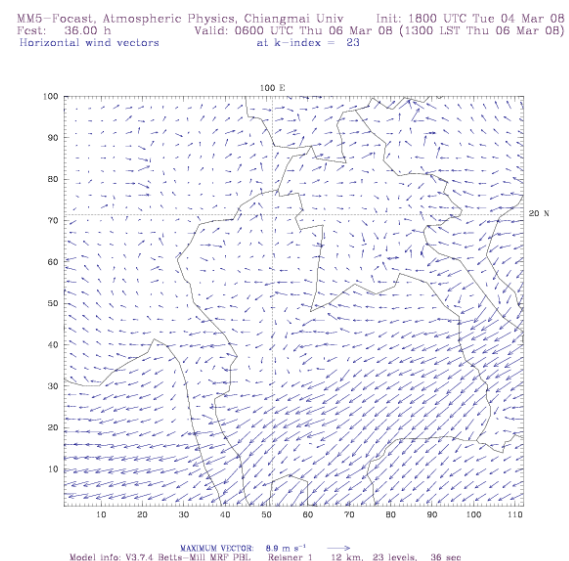
1. พยากรณ์อากาศในแอ่งเชียงใหม่-ลำพูนล่วงหน้า 5 วัน เพื่อท่านายสภาพอุณหภูมิผิดผัน เสถียรภาพอากาศ ลมผิวพื้น ความกดอากาศ อุณหภูมิ ความชื้น และฝน ในการเฝ้าระวังและเตือนการเพิ่มปริมาณฝุ่นละอองทุกรูปแบบ กรณีที่มีอุณหภูมิผิดผันในระยะใกล้พื้นดิน
2. ทดสอบประสิทธิภาพผลการพยากรณ์อากาศจากแบบจำลอง MM5 โดยการเปรียบเทียบค่าอุณหภูมิ ความกดอากาศ ความชื้น และฝนที่พยากรณ์จากแบบจำลอง MM5 และค่าตรวจวัดจากกรมอุตุนิยมวิทยาในจังหวัดเชียงใหม่ เชียงราย ลำปางและลำพูน ซึ่งได้ผลลัพธ์ใกล้เคียงกัน
3. ตรวจสอบข้อมูลภาพถ่ายดาวเทียมของจุดความร้อนจากการเผาไหม้ (hot spot) ประกอบการวิเคราะห์ลมผิวพื้น และค่าตรวจวัดความเข้มข้นของฝุ่นละอองจากรุ่นควบคุมมลพิษ

4. ประกาศผลพยากรณ์สภาพอากาศและการเฝ้าระวังปัญหาหมอกควันล่วงหน้า 5 วัน ผ่านทางเวปไซด์ของหน่วยวิจัยฟิสิกส์บรรยายอากาศ <http://www.physics.science.cmu.ac.th/atmoslab> และส่งผลการเฝ้าระวังให้แก่ศูนย์ประสานและเตือนภัยคุณภาพอากาศ ภาคเหนือ <http://medcenter.med.cmu.ac.th/fogsmoke/> สถาบันวิจัยสังคม <http://www.sri.cmu.ac.th/index.php> สถาบันวิจัยระบบสุขภาพ (สวรส.) ภาคเหนือ-มช. <http://www.hsrictmu.com/>

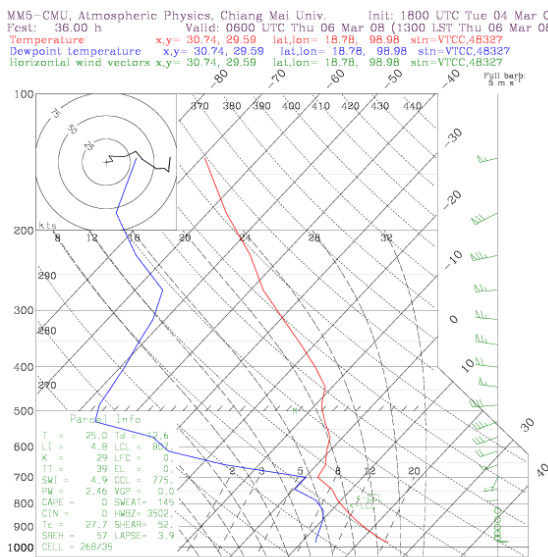
### อาทิตย์เช่น ผลการพยากรณ์อากาศ วันที่ 6 มีนาคม 2551



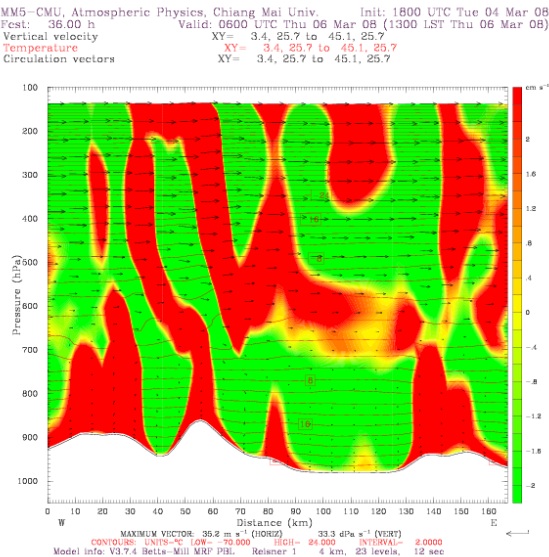
ความกดอากาศ เวลา 10.00 น.



ความเร็วลม เวลา 13.00 น.

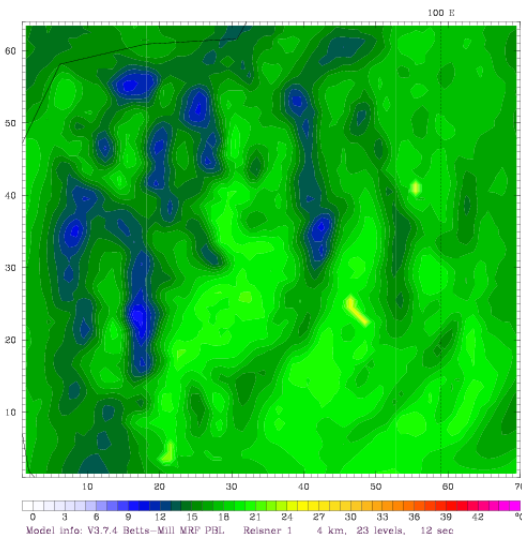


Skew-T เวลา 13.00 น.



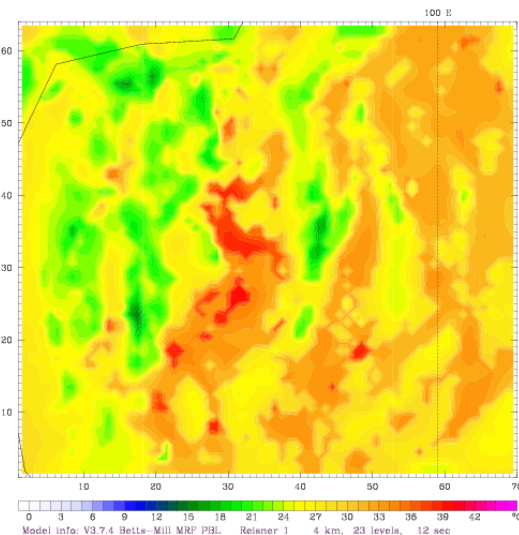
## ความเร็วลดตามแนวตระหง่านปกติ - ตะหงันออก และตามแนวดิ่ง เวลา 13.00 น.

MM5-CMU, Atmospheric Physics, Chiang Mai Univ. Init: 1800 UTC Tue 04 Mar 08  
Fct: 3000 h Valid: 0000 UTC Thu 06 Mar 08 (0700 LST Thu 06 Mar 08)  
Temperature(at 2m)



ອຸ່ນຫກມີເວລາ 07.00 ນ.

CMU, Atmospheric Physics, Chiang Mai Univ. Init: 1800 UTC Tue 04 Mar 08  
36.00 h Valid: 0600 UTC Thu 06 Mar 08 (1300 LST Thu 06 Mar 08)  
erature(at 2m)



อุณหภูมิเวลา 13.00 น.

การพยากรณ์สภาพอากาศจากแบบจำลอง MM5 ระหว่างวันที่ 6 มีนาคม 2551

มีความกดอากาศสูงจากประเทศจีนแผ่นดินมาปกคลุมภาคเหนือตอนบนทำให้ช่วง  
เวลาช่วงต้นแม่ัวร์จะประมาณ 19-21 วัน ส่วนแม่ัวร์จะประมาณ 21-22 วัน ส่วนแม่ัวร์จะ

หากาคเมืองที่ตั้งตระหง่านนี้เป็นไปได้ ความสูงของอากาศจะลดลงตามความสูง แต่ความชื้นจะเพิ่มขึ้นตามความสูง (inversion) ที่ความสูงประมาณ 3 กิโลเมตรเหนือพื้นดิน เสมือนมีแผ่นปิดกั้นไม่ให้อากาศเคลื่อนที่ผ่าน ทำให้ฝุ่นละอองใน

อากาศด้อยชื่นตามแนวตั้ง ได้เล็กน้อยจนถึงความสูง 3 กิโลเมตรเหนือพื้นดิน สภาพอากาศในช่วงนี้ยังคงอี่ออำนวยต่อการสะสมของฝุ่นละอองใกล้พื้นดิน จึงควรลดการปลดปล่อยฝุ่นละอองสู่บรรยากาศจากผลการศึกษาสภาพอากาศในเดือน มกราคม-มีนาคม พ.ศ.2549 -2551 ทำให้ทราบว่า สภาพภูมิประเทศและสภาพอากาศของแอ่งเชียงใหม่-ลำพูนมีแนวโน้มสูงมากที่จะประสบปัญหามลภาวะอากาศเนื่องจากฝุ่นละอองขนาดเล็กในช่วงมกราคม-มีนาคมของทุกปี เนื่องจากปัจจัยที่มีผลต่อการสะสมของปริมาณฝุ่นละอองในอากาศ ได้แก่

### 1. ภูมิประเทศ

ภูมิประเทศของแอ่งเชียงใหม่-ลำพูน เป็นลักษณะแอ่งกระทะที่มีเทือกเขาทางด้านในแนวเหนือ-ใต้ล้อมรอบ ทำให้ลมบริเวณข้างเคียงพัดผ่านด้านบนของแอ่งเชียงใหม่-ลำพูน ลมพิวพื้นในแอ่งส่วนส่งผลให้การฟุ้งกระจายของฝุ่นละอองในอากาศตามแนวราบเป็นไปได้ยาก ขณะที่ลมภูเขาช่วงเวลากลางคืนเคลื่อนที่ลง ส่วนเวลากลางวันลมจะเคลื่อนที่ขึ้นบริเวณไหล่เข้าแล้วเคลื่อนที่ลงบริเวณหุบเขา ก่อให้เกิดการสะสมของฝุ่นละอองในอากาศบริเวณแอ่งเชียงใหม่-ลำพูนได้

### 2. แหล่งกำเนิดฝุ่นละอองในอากาศ

แหล่งกำเนิดฝุ่นละอองในอากาศทั้งในและนอกบริเวณแอ่งเชียงใหม่-ลำพูน อาทิเช่น การเผาในที่โล่ง การเผาสุดการเกษตร การเผาป่า ท่อไอเสียรถ การก่อสร้าง ฝุ่นจากถนน เป็นต้น โดยจำนวนและพื้นที่ของแหล่งกำเนิดจะมีผลต่อปริมาณความเข้มข้นของฝุ่นละอองในอากาศ เมื่อพิจารณาภาพ hot spot จากภาพถ่ายดาวเทียมปี พ.ศ. 2550 และ พ.ศ.2551 พบว่า มีการเผาป่ามากทางตอนเหนือของประเทศ เช่น เชียงราย แม่ฮ่องสอน ตาก น่าน เชียงใหม่ เลย กาญจนบุรี และบริเวณชายแดนของประเทศเพื่อนบ้านที่ฟังด้วยตากและตะวันตกและตะวันออกของประเทศไทย ฝุ่นละอองจากการเผาป่านอกบริเวณแอ่งเชียงใหม่-ลำพูน ถูกพัดพาเข้ามาตามลมพิมพ์เดิมกับปริมาณฝุ่นละอองที่มีแหล่งกำเนิดในแอ่งเชียงใหม่-ลำพูน เป็นสาเหตุที่ปริมาณฝุ่นสูงสุดในวันที่ 14 มีนาคม 2551 เนื่องจากมีการสะสมของฝุ่นมากอย่างต่อเนื่อง และ ปี พ.ศ. 2550 มีจำนวน hot spot มากกว่า พ.ศ. 2551

### 3. สภาพอากาศ

**3.1 ความกดอากาศสูง ทำให้บรรยายอากาศมีเสถียรภาพของอากาศ เนื่องจากช่วงฤดูหนาวประเทศไทยได้รับอิทธิพลจากมรสุมตะวันออกเฉียงเหนือ โดยความกดอากาศสูงจากประเทศจีนจะแผ่เข้าสู่ประเทศไทย สภาพอากาศจึงแห้งและเย็น อากาศเป็นแบบมีเสถียรภาพมาก (stable) และบ่อยครั้งพบชั้นอุณหภูมิผกผัน (inversion) เปรียบเสมือนแผ่นปิดกันไม่ให้ฝุ่นละอองในอากาศเคลื่อนที่ขึ้นได้แต่ถ้าเป็นสภาพอากาศที่ไม่มีเสถียรภาพ (Unstable) ฝุ่นละอองจะฟุ้งกระจายขึ้นไปในอากาศได้ดี ลดความเข้มข้นของปริมาณฝุ่นในพื้นที่ จากการวิเคราะห์แผนภาพ Skew-T ด้วยแบบจำลอง MM5 ในช่วง**

เดือนมีนาคม ถึงเดือนมีนาคมของปีพ.ศ. 2549, พ.ศ.2550 และ พ.ศ.2551 ช่วงที่ความกดอากาศสูงปกคลุมประเทศไทย อากาศจะมีเสถียรภาพมาก น้อยครั้งพบชั้นของอุณหภูมิผกผัน ประกอบกับมีการปลดปล่อยฝุ่นละอองสู่บรรยากาศจากแหล่งกำเนิดทั้งในและนอกพื้นที่เป็นจำนวนมาก ทำให้มีการสะสมของฝุ่นมากจนสังเกตได้ และรายงานการตรวจปริมาณฝุ่นละออง (PM10) จากกรมควบคุมมลพิษ พบว่า วันที่ 14 มีนาคม พ.ศ. 2550 มีค่าเท่ากับ 383 ไมโครกรัมต่อลูกบาศก์เมตร และ วันที่ 24 มีนาคม 2551 มีค่าเท่ากับ 171.3 ไมโครกรัมต่อลูกบาศก์เมตร ซึ่งเป็นปริมาณที่เกินระดับมาตรฐานคุณภาพอากาศ

**3.2 ลม** โดยลมมีผลต่อการกระจายตัวของฝุ่นละอองในอากาศตามแนวราบ ถ้าในบริเวณแอ่งมีลมสงบหรือความเร็วลมน้อยจะทำให้ฝุ่นละอองในอากาศสะสมอยู่บริเวณใกล้กันแหล่งกำเนิดในบริเวณแอ่งเชียงใหม่-ลำพูน ในทำนองเดียวกันลมอาจพัดพาฝุ่นละอองในอากาศจากพื้นที่ใกล้เคียงเข้าสู่แอ่งเชียงใหม่-ลำพูนก่อให้เกิดปัญหาหมอกควันได้

**3.3 ฝน** โดยฝนสามารถล้างฝุ่นละอองในอากาศบางส่วน ทำให้คุณภาพอากาศดีขึ้น ผลจากการวิเคราะห์ลมพิวพื้น ประกอบกับภาพ hot spot มีการพัดพาฝุ่นละอองจากพื้นที่ไฟป่าบริเวณนอกแอ่งเชียงใหม่-ลำพูนเข้ามาสะสมในแอ่ง เพิ่มเติมจากฝุ่นละอองที่มีในแอ่งเชียงใหม่-ลำพูน ทำให้มีปริมาณฝุ่นละอองมากขึ้นกว่าปกติ จนเกิดปัญหาหมอกควันในเดือนมีนาคม พ.ศ.2550

## บทคัดย่อ

รหัสโครงการ : RDG5130002  
ชื่อโครงการ : การวิเคราะห์สภาพอากาศและการเฝ้าระวังการเกิดมลภาวะอากาศ  
ชื่อนักวิจัย : รศ.ดร.เจียมใจ เครือสุวรรณ<sup>1</sup>, นายชาคริต โฉติอมรศักดิ์<sup>2</sup>,  
นายภาณุภูมิ รัตน์จิราณุกูล<sup>3</sup>, นางสาวอรร生生 วิรัลห์เวชยันต์<sup>1</sup>  
<sup>1</sup> คณะวิทยาศาสตร์ มหาวิทยาลัยเชียงใหม่, <sup>2</sup> คณะสังคมศาสตร์  
มหาวิทยาลัยเชียงใหม่, <sup>3</sup> คณะวิทยาศาสตร์และเทคโนโลยี  
มหาวิทยาลัยราชภัฏเชียงใหม่

E-mail: [scphi016@chiangmai.ac.th](mailto:scphi016@chiangmai.ac.th)

ระยะเวลาโครงการ: 1 ธันวาคม 2550 ถึง 31 พฤษภาคม 2551

การจำลองสภาพอากาศในแอ่งเชียงใหม่-ลำพูน ในช่วงเดือนมกราคมถึงมีนาคม พ.ศ.2549 พ.ศ.2550 และ พ.ศ.2551 เพื่อวิเคราะห์สภาพอากาศและการเฝ้าระวังการเกิดมลภาวะอากาศ ด้วยแบบจำลองสภาพอากาศ MM5 ภูมิประเทศของแอ่งส่งผลกระทบมากต่อสภาพอากาศในแอ่งเชียงใหม่-ลำพูน ผลลัพธ์จากแบบจำลอง MM5 รวมทั้งแผนภาพ Skew-T รูปแบบของความกดอากาศและลมผิวน้ำ ใช้วิเคราะห์สภาพอากาศในแอ่งเชียงใหม่-ลำพูน ลมมรสุมตะวันออกเฉียงเหนือที่หนาแน่นและแห้งได้ พัดผ่านส่วนบนของแอ่งเชียงใหม่-ลำพูน ขณะที่พื้นผิวมีลมสงบและอากาศแห้ง ความกดอากาศสูงกำลังแรงที่ปักคุณในช่วงฤดูมรสุมตะวันออกเฉียงเหนือ ทำให้อากาศมีเสถียรภาพและมีชั้นของอุณหภูมิ ตกผันปักคุณทำให้การเคลื่อนตัวขึ้นในแนวตั้งของอากาศและสารพิษเป็นไปได้ยาก ฝุ่นละอองขนาดเล็ก (PM10) และสารพิษในอากาศฟุ้งกระจายอยู่เหนือพื้นดินภายใต้ระดับชั้นอุณหภูมิตกผัน

การพัฒนาฝุ่นละอองขนาดเล็กตามลมจากบริเวณที่มีการเผาชีวมวลในภาคเหนือของประเทศไทย และตามชายแดนระหว่างประเทศมีบทบาทสำคัญในการสะสมของฝุ่นละอองขนาดเล็กในแอ่งเชียงใหม่-ลำพูน ทำให้มีปริมาณฝุ่นเพิ่มเป็น 303.9 ไมโครกรัมต่อลูกบาศก์เมตร และ 171.3 ไมโครกรัมต่อลูกบาศก์เมตร ในเดือนมีนาคม พ.ศ.2550 และ พ.ศ.2551 ตามลำดับ จากการตรวจวัด ณ สถานีตรวจวัดคุณภาพอากาศศูนย์ราชการรวมฯ จังหวัดเชียงใหม่ โดยกรมควบคุมมลพิษ

การพยากรณ์สภาพอากาศล่วงหน้า 5 วัน ของจังหวัดเชียงใหม่ ได้กระทำด้วยแบบจำลอง MM5 ในช่วงเดือน มกราคม-มีนาคม พ.ศ.2551 เพื่อเป็นระบบเฝ้าระวังปัญหามลภาวะอากาศ เมื่อวิเคราะห์สภาพอากาศ พบชั้นอุณหภูมิตกผันที่ระดับความสูง 1-2 กิโลเมตรเหนือพื้นดิน ค่าตัวแปรที่พยากรณ์จากแบบจำลอง MM5 เช่น อุณหภูมิ ความชื้น ความกดอากาศ และฝน สถาคล่องกับค่าตรวจวัดเป็นอย่างดี

สำหรับจังหวัดเชียงใหม่ เชียงราย ลำปางและลำพูน ซึ่งเป็นการทดสอบประสิทธิภาพการทำงานของแบบจำลอง MM5 ตัวแปรอื่นๆ คำนวณจากแบบจำลอง MM5 ที่ใช้ในพิจารณาในระบบเฝ้าระวังคือปริมาณฝนสะสม 3 ชั่วโมง อุณหภูมิพื้นผิว ความกดอากาศระดับน้ำทะเล ลมพิวพื้น กระแสการเคลื่อนที่ของอากาศ และความชื้นสัมพัทธ์ นอกจากนี้ยังใช้ภาพถ่ายดาวเทียมของจุดความร้อนจากการเผาไฟที่พิจารณาประกอบกับปริมาณผุนละออง ที่ตรวจด้วยกรรมควบคุมมลพิษ พร้อมทั้งได้ให้คำเตือนลดการเผาชีมวลในวันที่ชั้นอุณหภูมิผกผันอยู่ระดับต่ำ โชคดีที่มีฝนตกบ่อยครั้งและมีการเผาชีมวลลดลงใน พ.ศ.2551 จึงไม่มีปัญหาหมอกควันในแอ่งเชียงใหม่-ลำพูน

**คำสำคัญ :** การเฝ้าระวังผลกระทบทางอากาศ, แบบจำลอง MM5, การวิเคราะห์สภาพอากาศ

## **Abstract**

**Project Code :** RDG5130002

**Project Title :** Weather Analysis and Air Pollution Warning

**Investigation :** Assoc. Prof. Jiemjai Kreasuwun<sup>1</sup>, Mr. Chakrit Chodamornsuk<sup>2</sup>,

Mr.Pakpook Ratjiranukool<sup>3</sup>, Miss. Orawan Wirunvedchayan<sup>1</sup>

<sup>1</sup> Faculty of Science, Chiang Mai University, <sup>2</sup> Faculty of Social Science,

Chiang Mai University, <sup>3</sup> Faculty of Science and Technology , Chiang Mai

Rajabhat University

**E-mail:** [scphi016@chiangmai.ac.th](mailto:scphi016@chiangmai.ac.th)

**Project Duration:** December 2007- May 2008

Weather conditions in Chiang Mai-Lampoon basin were simulated by the mesoscale model, MM5, during January-April, 2006, 2007, and 2008. The weather in the basin is strongly affected by its topography. The MM5 outputs including Skew-T diagrams, high pressure and surface wind patterns were efficiently used in analyzing the weather features of the basin. The cold dry north-east monsoon primarily moves across the basin leaving behind the calm dry surface wind. The upward motion of air and pollutants were considerably suppressed due to atmospheric stability and temperature inversion caused by the active high pressure system in the northeast monsoon season. Fine dust and air pollutants are potentially dispersed below the temperature inversion over the basin.

Wind erosion from biomass burning areas in northern Thailand and along its borders played an important role on the accumulation of particulate matter, PM10, in the basin reaching up to 303.9  $\mu\text{g}/\text{m}^3$  and 171.3  $\mu\text{g}/\text{m}^3$  at Province of Chiang Mai Government Center in March 2007 and March 2008, respectively.

The MM5 was successfully employed in five-day weather forecasts for Chiang Mai and Lampoon provinces during January-March 2008 as an air pollution warning system when the strong inversion was obviously indicated at approximately 1-2 kilometers above the basin. Good accordance of the MM5 forecasts such as temperature, humidity, pressure and rain with the observed values

for Chiang Mai, Chiang Rai, Lampang and Lampoon provinces was highly achieved in the verification of the MM5 performance. The other MM5 surface variables considered in the warning system were 3-hourly precipitation, surface temperature, sea-level pressure, surface horizontal wind, vertical velocity and relative humidity. In addition, the satellite images of hot spots were continuously investigated in relevant to the PM10 reported by the Pollution Control Department. All biomass burning activities were not supposed to be conducted during the days with low-level inversions. Fortunately, there were more rainy days and less biomass burning in 2008, which help relieve the air pollution problem in the basin.

**Keywords:** air pollution warning, MM5,weather analysis

## สารบัญ

หน้าที่

บทที่ 1 บทนำ	1
1.1 ที่มาและความสำคัญ	1
1.2 วัตถุประสงค์	1
1.3 ขอบเขตงานวิจัย	2
1.4 วิธีการวิจัย	2
บทที่ 2 ผลการศึกษาสภาพอากาศในปี พ.ศ.2549 และ พ.ศ.2550 ต่อปัจจัยทางภูมอกลาง	12
2.1 ความเข้มข้นของฝุ่นละอองขนาดเล็ก จากสถานีตรวจวัดคุณภาพอากาศ	12
2.2 ผลการจำลองความกดอากาศโดยแบบจำลอง MM5	15
2.2.1 ความกดอากาศปี พ.ศ.2549	15
2.2.2 ความกดอากาศปี พ.ศ.2550	19
2.3 ความสัมพันธ์ระหว่างลมพิวพื้นกับจุดความร้อนที่เกิดจากการเผาไหม้ (Hot Spot) จากภาพถ่ายดาวเทียม	23
2.4 การเคลื่อนที่ของอากาศตามแนวดึง	33
2.4.1 การพิจารณาผลการจำลองสภาพอากาศที่ได้จากแบบจำลอง MM5 กับสภาพอากาศจากการตรวจวัด (Validation of the MM5)	33
2.4.2 การศึกษาเสถียรภาพอากาศจากแผนภาพ Skew-T	41
2.4.3 ความเร็วลมตามแนวตะวันตก-ตะวันออกและตามแนวดึง	47
2.5 ผลการจำลองสภาพอากาศโดยแบบจำลอง MM5	50
ในเดือน มกราคม – มีนาคม พ.ศ. 2549 และ พ.ศ.2550	
บทที่ 3 การพยากรณ์สภาพอากาศล่วงหน้า 5 วัน	51
3.1 ความกดอากาศ	52
3.2 ลมพิวพื้น	59
3.3 ความสัมพันธ์ระหว่างลมพิวพื้นกับจุดความร้อนที่เกิดจากการเผาไหม้ (Hot Spot) จากภาพถ่ายดาวเทียม	65

## สารบัญ

หน้าที่

3.4 การเคลื่อนที่ของอากาศตามแนวดึง	74
3.4.1 การศึกษาเสถียรภาพอากาศจากแผนภาพ Skew-T	74
3.4.2 ความเร็วลมตามแนวตะวันตก-ตะวันออกและตามแนวดึง	82
3.5 ปริมาณฝนสะสม 3 ชั่วโมงและภาพถ่ายดาวเทียม	85
3.6 ตัวอย่างการพยากรณ์สภาพอากาศ	88
3.7 การเปรียบเทียบผลการจำลองสภาพอากาศด้วยแบบจำลอง MM5 กับค่าตรวจวัดจากกรมอุตุนิยมวิทยา	90
บทที่ 4 สรุปผล	99
4.1 สภาพเสื่อมไขในการเกิดปัญหาหมอกควัน	99
4.2 ข้อเสนอแนะการใช้แบบจำลอง MM5	101
เอกสารอ้างอิง	102
ภาคผนวก	104

## สารบัญตาราง

หน้าที่

ตารางพนวนกที่ 1 แสดงความสูงตามระดับความดันในหน่วยมิลลิบาร์ (Altitude Units to Pressure Units Conversion.)	105
ตารางพนวนกที่ 3 รายละเอียดผลการดำเนินงานของโครงการตามแผนงานโดยสรุป	107

สารบัญภาพ

## หน้าที่

## สารบัญภาพ (ต่อ)

	หน้าที่
รูปที่ 2-7 แสดงความกดอากาศที่ปักคุณประเทศไทย เวลา 07.00 น.	
(ก) วันที่ 16 มีนาคม พ.ศ.2549	17
(ข) วันที่ 17 มีนาคม พ.ศ.2549	17
(ค) วันที่ 20 มีนาคม พ.ศ.2549	18
(ง) วันที่ 24 มีนาคม พ.ศ.2549	18
รูปที่ 2-8 แสดงความกดอากาศที่ปักคุณประเทศไทย เวลา 07.00 น.	
(ก) วันที่ 19 มีนาคม พ.ศ.2549	18
(ข) วันที่ 28 มีนาคม พ.ศ.2549	18
(ค) วันที่ 29 มีนาคม พ.ศ.2549	19
(ง) วันที่ 30 มีนาคม พ.ศ.2549	19
รูปที่ 2-9 แสดงความกดอากาศที่ปักคุณประเทศไทย เวลา 07.00 น.	
(ก) วันที่ 7 มกราคม พ.ศ.2550	20
(ข) วันที่ 8 มกราคม พ.ศ.2550	20
(ค) วันที่ 9 มกราคม พ.ศ.2550.	20
(ง) วันที่ 10 มกราคม พ.ศ.2550	20
รูปที่ 2-10 แสดงความกดอากาศที่ปักคุณประเทศไทย เวลา 07.00 น.	
(ก) วันที่ 27 มกราคม พ.ศ.2550	21
(ข) วันที่ 29 มกราคม พ.ศ.2550	21
(ค) วันที่ 1 กุมภาพันธ์ พ.ศ.2550	21
(ง) วันที่ 2 กุมภาพันธ์ พ.ศ.2550	21
รูปที่ 2-11 แสดงอุณหภูมิภาคเหนือตอนบน วันที่ 27 มกราคม พ.ศ.2549	
(ก) อุณหภูมิ ณ เวลา 07.00 น.	22
(ข) อุณหภูมิ ณ เวลา 13.00 น.	22
รูปที่ 2-12 แสดงอุณหภูมิภาคเหนือตอนบน วันที่ 29 มกราคม พ.ศ.2550	
(ก) อุณหภูมิ ณ เวลา 07.00 น.	23
(ข) อุณหภูมิ ณ เวลา 13.00 น.	23

## สารบัญภาพ(ต่อ)

หน้าที่
รูปที่ 2-13 ภาพ Hot Spot จากดาวเทียม พ.ศ.2549
(ก) Hot Spot เดือนมกราคม 24
(ข) Hot Spot เดือนกุมภาพันธ์ 24
(ค) Hot Spot เดือนมีนาคม 24
รูปที่ 2-14 ภาพ Hot Spot จากดาวเทียม พ.ศ.2550
(ก) Hot Spot เดือนมกราคม 25
(ข) Hot Spot เดือนกุมภาพันธ์ 25
(ค) Hot Spot เดือนมีนาคม 25
รูปที่ 2-15 ภาพ Hot Spot จากดาวเทียม พ.ศ.2551
(ก) Hot Spot เดือนมกราคม 26
(ข) Hot Spot เดือนกุมภาพันธ์ 26
(ค) Hot Spot เดือนมีนาคม 26
รูปที่ 2-16 ภาพ Hot Spot และ ความเร็วลมตามแนวราบที่ระดับผิวน้ำ วันที่ 24 มีนาคม 2549
(ก) ความเร็วลม ณ เวลา 07.00 น. 27
(ข) ความเร็วลม ณ เวลา 19.00 น. 27
(ค) ภาพ Hot Spot วันที่ 23-24 มีนาคม 2549 27
รูปที่ 2-17 ภาพ Hot Spot และ ความเร็วลมตามแนวราบที่ระดับผิวน้ำ วันที่ 5 กุมภาพันธ์ 2550
(ก) วันที่ 4 กุมภาพันธ์ 2550 เวลา 10.00 น. 28
(ข) วันที่ 4 กุมภาพันธ์ 2550 เวลา 13.00 น. 28
(ค) วันที่ 5 กุมภาพันธ์ 2550 เวลา 10.00 น. 28
(ง) วันที่ 5 กุมภาพันธ์ 2550 เวลา 16.00 น. 28
(จ) ภาพ Hot Spot วันที่ 4-5 กุมภาพันธ์ 2550 29

## สารบัญภาพ(ต่อ)

หน้าที่	
รูปที่ 2-18 ภาพ Hot Spot และ ความเร็วลมตามแนวราบที่ระดับผิวน้ำ <sup>ชั้น</sup> วันที่ 5 มีนาคม 2550	
(ก) ความเร็วลม ณ เวลา 07.00 น.	29
(ข) ความเร็วลม ณ เวลา 16.00 น.	29
(ค) ภาพ Hot Spot วันที่ 4-5 มีนาคม 2550	30
รูปที่ 2-19 ภาพ Hot Spot และ ความเร็วลมตามแนวราบที่ระดับผิวน้ำ <sup>ชั้น</sup> วันที่ 14 มีนาคม 2550	
(ก) ความเร็วลม ณ เวลา 07.00 น.	30
(ข) ความเร็วลม ณ เวลา 16.00 น.	30
(ค) ภาพ Hot Spot วันที่ 13-14 มีนาคม 2550	31
รูปที่ 2-20 ภาพ Hot Spot และ ความเร็วลมตามแนวราบที่ระดับผิวน้ำ <sup>ชั้น</sup> วันที่ 25 มีนาคม 2550	
(ก) ความเร็วลม ณ เวลา 07.00 น.	31
(ข) ความเร็วลม ณ เวลา 16.00 น.	31
(ค) ภาพ Hot Spot วันที่ 24-25 มีนาคม 2550	32
รูปที่ 2-21 Skew-T ณ ศูนย์อุตุนิยมวิทยาจังหวัดเชียงใหม่ วันที่ 1 มกราคม พ.ศ. 2549 เวลา 07.00 น.	
(ก) Skew-T จากแบบจำลอง MM5	35
(ข) Skew-T จากการตรวจวัดสภาพอากาศตามแนวดิ่ง	35
รูปที่ 2-22 Skew-T ณ ศูนย์อุตุนิยมวิทยาจังหวัดเชียงใหม่ วันที่ 5 กุมภาพันธ์ พ.ศ. 2549 เวลา 07.00 น.	
(ก) Skew-T จากแบบจำลอง MM5	36
(ข) Skew-T จากการตรวจวัดสภาพอากาศตามแนวดิ่ง	36

## สารบัญภาพ(ต่อ)

หน้าที่
รูปที่ 2-23 Skew-T ณ ศูนย์อุตุนิยมวิทยาจังหวัดเชียงใหม่ วันที่ 19 มีนาคม พ.ศ. 2549 เวลา 07.00 น. (ก) Skew-T จากแบบจำลอง MM5 37 (ข) Skew-T จากการตรวจสภาพอากาศตามแนวดึง 37
รูปที่ 2-24 Skew-T ณ ศูนย์อุตุนิยมวิทยาจังหวัดเชียงใหม่ วันที่ 30 มกราคม พ.ศ. 2550 เวลา 07.00 น. (ก) Skew-T จากแบบจำลอง MM5 38 (ข) Skew-T จากการตรวจสภาพอากาศตามแนวดึง 38
รูปที่ 2-25 Skew-T ณ ศูนย์อุตุนิยมวิทยาจังหวัดเชียงใหม่ วันที่ 17 กุมภาพันธ์ พ.ศ. 2550 เวลา 07.00 น. (ก) Skew-T จากแบบจำลอง MM5 39 (ข) Skew-T จากการตรวจสภาพอากาศตามแนวดึง 39
รูปที่ 2-26 Skew-T ณ ศูนย์อุตุนิยมวิทยาจังหวัดเชียงใหม่ วันที่ 14 มีนาคม พ.ศ. 2550 เวลา 07.00 น. (ก) Skew-T จากแบบจำลอง MM5 39 (ข) Skew-T จากการตรวจสภาพอากาศตามแนวดึง 39
รูปที่ 2-27 Skew-T ณ ศูนย์อุตุนิยมวิทยาจังหวัดเชียงใหม่ วันที่ 19 มกราคม พ.ศ. 2551 เวลา 07.00 น. (ก) Skew-T จากแบบจำลอง MM5 40 (ข) Skew-T จากการตรวจสภาพอากาศตามแนวดึง 40
รูปที่ 2-28 Skew-T ณ ศูนย์อุตุนิยมวิทยาจังหวัดเชียงใหม่ วันที่ 1 กุมภาพันธ์ พ.ศ. 2551 เวลา 07.00 น. (ก) Skew-T จากแบบจำลอง MM5 41 (ข) Skew-T จากการตรวจสภาพอากาศตามแนวดึง 41

รูปที่ 2-29 Skew-T จาก MM5 ณ ศูนย์อุตุนิยมวิทยาจังหวัดเชียงใหม่ เวลา 13.00 น.

- |                               |    |
|-------------------------------|----|
| (ก) วันที่ 19 มีนาคม พ.ศ.2549 | 42 |
| (ข) วันที่ 20 มีนาคม พ.ศ.2549 | 42 |

รูปที่ 2-30 Skew-T จาก MM5 ณ ศูนย์อุตุนิยมวิทยาจังหวัดเชียงใหม่ เวลา 13.00 น.

- |                               |    |
|-------------------------------|----|
| (ก) วันที่ 23 มีนาคม พ.ศ.2549 | 43 |
| (ข) วันที่ 24 มีนาคม พ.ศ.2549 | 43 |

รูปที่ 2-31 Skew-T จาก MM5 ณ ศูนย์อุตุนิยมวิทยาจังหวัดเชียงใหม่ เวลา 13.00 น.

- |                                  |    |
|----------------------------------|----|
| (ก) วันที่ 5 กุมภาพันธ์ พ.ศ.2550 | 43 |
| (ข) วันที่ 6 กุมภาพันธ์ พ.ศ.2550 | 43 |
| (ค) วันที่ 7 กุมภาพันธ์ พ.ศ.2550 | 44 |
| (ง) วันที่ 8 กุมภาพันธ์ พ.ศ.2550 | 44 |

รูปที่ 2-32 Skew-T จาก MM5 ณ ศูนย์อุตุนิยมวิทยาจังหวัดเชียงใหม่ เวลา 13.00 น.

- |                               |    |
|-------------------------------|----|
| (ก) วันที่ 11 มีนาคม พ.ศ.2550 | 45 |
| (ข) วันที่ 12 มีนาคม พ.ศ.2550 | 45 |
| (ค) วันที่ 13 มีนาคม พ.ศ.2550 | 45 |
| (ง) วันที่ 14 มีนาคม พ.ศ.2550 | 45 |

รูปที่ 2-33 Skew-T จาก MM5 ณ ศูนย์อุตุนิยมวิทยาจังหวัดเชียงใหม่ เวลา 13.00 น.

- |                               |    |
|-------------------------------|----|
| (ก) วันที่ 10 เมษายน พ.ศ.2550 | 46 |
| (ข) วันที่ 11 เมษายน พ.ศ.2550 | 46 |
| (ค) วันที่ 12 เมษายน พ.ศ.2550 | 46 |
| (ง) วันที่ 13 เมษายน พ.ศ.2550 | 46 |

รูปที่ 2-34 ความเร็วลมตามแนวตระหง่าน-ตะวันออกและตามแนวตั้ง

- วันที่ 19 มีนาคม 2549
- |                                |    |
|--------------------------------|----|
| (ก) ความเร็วลม ณ เวลา 01.00 น. | 47 |
| (ข) ความเร็วลม ณ เวลา 13.00 น. | 47 |

## สารบัญภาพ(ต่อ)

	หน้าที่
รูปที่ 2-35 ความเร็วลมตามแนวตั้งวันตก-ตะวันออกและตามแนวตั้ง วันที่ 24 มีนาคม 2549	
(ก) ความเร็วลม ณ เวลา 01.00 น.	48
(ข) ความเร็วลม ณ เวลา 13.00 น.	48
รูปที่ 2-36 ความเร็วลมตามแนวตั้งวันตก-ตะวันออกและตามแนวตั้ง วันที่ 11 มีนาคม 2550	
(ก) ความเร็วลม ณ เวลา 01.00 น.	48
(ข) ความเร็วลม ณ เวลา 13.00 น.	48
รูปที่ 2-37 ความเร็วลมตามแนวตั้งวันตก-ตะวันออกและตามแนวตั้ง วันที่ 14 มีนาคม 2550	
(ก) ความเร็วลม ณ เวลา 01.00 น.	49
(ข) ความเร็วลม ณ เวลา 13.00 น.	49
รูปที่ 3-1 ความกดอากาศที่ปักคุณประเทศไทย เวลา 10.00 น.	
(ก) วันที่ 23 มกราคม พ.ศ.2551	52
(ข) วันที่ 24 มกราคม พ.ศ.2551	52
(ค) วันที่ 25 มกราคม พ.ศ.2551	52
(ง) วันที่ 26 มกราคม พ.ศ.2551	52
(จ) วันที่ 27 มกราคม พ.ศ.2551	53
รูปที่ 3-2 ความกดอากาศที่ปักคุณประเทศไทย เวลา 10.00 น.	
(ก) วันที่ 14 กุมภาพันธ์ พ.ศ.2551	54
(ข) วันที่ 15 กุมภาพันธ์ พ.ศ.2551	54
(ค) วันที่ 16 กุมภาพันธ์ พ.ศ.2551	54
(ง) วันที่ 17 กุมภาพันธ์ พ.ศ.2551	54
(จ) วันที่ 18 กุมภาพันธ์ พ.ศ.2551	55
(ฉ) วันที่ 19 กุมภาพันธ์ พ.ศ.2551	55
(ช) วันที่ 20 กุมภาพันธ์ พ.ศ.2551	55

## สารบัญภาพ(ต่อ)

	หน้าที่
รูปที่ 3-3 ความกดอากาศที่ปักคุณประเทศไทย เวลา 10.00 น.	
(ก) วันที่ 5 มีนาคม พ.ศ.2551	56
(ข) วันที่ 6 มีนาคม พ.ศ.2551	56
(ค) วันที่ 7 มีนาคม พ.ศ.2551	56
(ง) วันที่ 8 มีนาคม พ.ศ.2551	56
(จ) วันที่ 9 มีนาคม พ.ศ.2551	57
รูปที่ 3-4 ความกดอากาศที่ปักคุณประเทศไทย เวลา 13.00 น.	
(ก) วันที่ 17 มีนาคม พ.ศ.2551	57
(ข) วันที่ 18 มีนาคม พ.ศ.2551	57
(ค) วันที่ 19 มีนาคม พ.ศ.2551	58
(ง) วันที่ 20 มีนาคม พ.ศ.2551	58
รูปที่ 3-5 ความกดอากาศที่ปักคุณประเทศไทย เวลา 10.00 น.	
(ก) วันที่ 23 มีนาคม พ.ศ.2551	58
(ข) วันที่ 24 มีนาคม พ.ศ.2551	58
รูปที่ 3-6 แสดงอุณหภูมิภาคเหนือตอนบน วันที่ 18 กุมภาพันธ์ พ.ศ.2551	
(ก) อุณหภูมิ ณ เวลา 07.00 น.	59
(ข) อุณหภูมิ ณ เวลา 13.00 น.	59
รูปที่ 3-7 ความเร็วลมตามแนวราบที่พื้นผิว เวลา 13.00 น.	
(ก) วันที่ 23 มกราคม พ.ศ.2551	60
(ข) วันที่ 24 มกราคม พ.ศ.2551	60
(ค) วันที่ 25 มกราคม พ.ศ.2551	60
(ง) วันที่ 26 มกราคม พ.ศ.2551	60
(จ) วันที่ 27 มกราคม พ.ศ.2551	61

## สารบัญภาพ(ต่อ)

	หน้าที่
รูปที่ 3-8 ความเร็วลมตามแนวราบที่พื้นผิว เวลา 13.00 น.	
(ก) วันที่ 17 กุมภาพันธ์ พ.ศ.2551	61
(ข) วันที่ 18 กุมภาพันธ์ พ.ศ.2551	61
(ค) วันที่ 19 กุมภาพันธ์ พ.ศ.2551	62
(ง) วันที่ 20 กุมภาพันธ์ พ.ศ.2551	62
(จ) วันที่ 21 กุมภาพันธ์ พ.ศ.2551	62
(ฉ) วันที่ 22 กุมภาพันธ์ พ.ศ.2551	62
รูปที่ 3-9 ความเร็วลมตามแนวราบที่พื้นผิว เวลา 13.00 น.	
(ก) วันที่ 5 มีนาคม พ.ศ.2551	63
(ข) วันที่ 6 มีนาคม พ.ศ.2551	63
(ค) วันที่ 7 มีนาคม พ.ศ.2551	64
(ง) วันที่ 8 มีนาคม พ.ศ.2551	64
(จ) วันที่ 9 มีนาคม พ.ศ.2551	64
รูปที่ 3-10 ความเร็วลมตามแนวราบที่พื้นผิว เวลา 13.00 น.	
(ก) วันที่ 21 มีนาคม พ.ศ.2551	65
(ข) วันที่ 22 มีนาคม พ.ศ.2551	65
(ค) วันที่ 23 มีนาคม พ.ศ.2551	65
(ง) วันที่ 24 มีนาคม พ.ศ.2551	65
(จ) วันที่ 25 มีนาคม พ.ศ.2551	66
(ฉ) วันที่ 26 มีนาคม พ.ศ.2551	66
รูปที่ 3-11 ภาพ Hot Spot และความเร็วลมตามแนวราบที่ระดับผิวพื้น วันที่ 24 มกราคม 2551	
(ก) ความเร็วลม ณ เวลา 07.00 น.	67
(ข) ความเร็วลม ณ เวลา 10.00 น.	67
(ค) ภาพ Hot Spot วันที่ 23-24 มกราคม 2551	67

## สารบัญภาพ(ต่อ)

หน้าที่

รูปที่ 3-12 ภาพ Hot Spot และความเร็วลมตามแนวราบที่ระดับผิวพื้น

วันที่ 15 กุมภาพันธ์ 2551

- |   |    |
|---|----|
| (ก) ความเร็วลม ณ เวลา 10.00 น.                | 68 |
| (ข) ความเร็วลม ณ เวลา 13.00 น.                | 68 |
| (ค) ภาพ Hot Spot วันที่ 14-15 กุมภาพันธ์ 2551 | 68 |

รูปที่ 3-13 ภาพ Hot Spot และความเร็วลมตามแนวราบที่ระดับผิวพื้น

วันที่ 19 กุมภาพันธ์ 2551

- |   |    |
|---|----|
| (ก) ความเร็วลม ณ เวลา 07.00 น.                | 69 |
| (ข) ความเร็วลม ณ เวลา 16.00 น.                | 69 |
| (ค) ภาพ Hot Spot วันที่ 18-19 กุมภาพันธ์ 2551 | 69 |

รูปที่ 3-14 ภาพ Hot Spot และความเร็วลมตามแนวราบที่ระดับผิวพื้น

วันที่ 6 มีนาคม 2551

- |   |    |
|---|----|
| (ก) ความเร็วลม ณ เวลา 04.00 น.          | 70 |
| (ข) ความเร็วลม ณ เวลา 16.00 น.          | 70 |
| (ค) ภาพ Hot Spot วันที่ 5-6 มีนาคม 2551 | 70 |

รูปที่ 3-15 ภาพ Hot Spot และความเร็วลมตามแนวราบที่ระดับผิวพื้น

วันที่ 7 มีนาคม 2551

- |   |    |
|---|----|
| (ก) ความเร็วลม ณ เวลา 04.00 น.          | 71 |
| (ข) ความเร็วลม ณ เวลา 16.00 น.          | 71 |
| (ค) ภาพ Hot Spot วันที่ 6-7 มีนาคม 2551 | 71 |

รูปที่ 3-16 ภาพ Hot Spot และความเร็วลมตามแนวราบที่ระดับผิวพื้น

วันที่ 23 มีนาคม 2551

- |   |    |
|---|----|
| (ก) ความเร็วลม ณ เวลา 07.00 น.            | 72 |
| (ข) ความเร็วลม ณ เวลา 10.00 น.            | 72 |
| (ค) ภาพ Hot Spot วันที่ 22-23 มีนาคม 2551 | 72 |

## สารบัญภาพ(ต่อ)

หน้าที่

รูปที่ 3-17 ภาพ Hot Spot และความเร็วลมตามแนวราบที่ระดับผิวน้ำ

วันที่ 24 มีนาคม 2551

(ก) ความเร็วลม ณ เวลา 07.00 น.	73
(ข) ความเร็วลม ณ เวลา 10.00 น.	73
(ค) ภาพ Hot Spot วันที่ 23-24 มีนาคม 2551	73

รูปที่ 3-18 Skew-T จาก MM5 ณ ศูนย์อุตุนิยมวิทยาจังหวัดเชียงใหม่ เวลา 13.00 น.

(ก) วันที่ 23 มกราคม พ.ศ.2551	75
(ข) วันที่ 24 มกราคม พ.ศ.2551	75
(ค) วันที่ 25 มกราคม พ.ศ.2551	75
(ง) วันที่ 26 มกราคม พ.ศ.2551	75
(จ) วันที่ 27 มกราคม พ.ศ.2551	76

รูปที่ 3-19 Skew-T จาก MM5 ณ ศูนย์อุตุนิยมวิทยาจังหวัดเชียงใหม่ เวลา 13.00 น.

(ก) วันที่ 31 มกราคม พ.ศ.2551	77
(ข) วันที่ 1 กุมภาพันธ์ พ.ศ.2551	77

รูปที่ 3-20 Skew-T จาก MM5 ณ ศูนย์อุตุนิยมวิทยาจังหวัดเชียงใหม่ เวลา 13.00 น.

(ก) วันที่ 18 กุมภาพันธ์ พ.ศ.2551	78
(ข) วันที่ 19 กุมภาพันธ์ พ.ศ.2551	78
(ค) วันที่ 20 กุมภาพันธ์ พ.ศ.2551	78
(ง) วันที่ 21 กุมภาพันธ์ พ.ศ.2551	78
(จ) วันที่ 22 กุมภาพันธ์ พ.ศ.2551	79

รูปที่ 3-21 Skew-T จาก MM5 ณ ศูนย์อุตุนิยมวิทยาจังหวัดเชียงใหม่ เวลา 13.00 น.

(ก) วันที่ 5 มีนาคม พ.ศ.2551	79
(ข) วันที่ 6 มีนาคม พ.ศ.2551	79
(ค) วันที่ 7 มีนาคม พ.ศ.2551	80
(ง) วันที่ 8 มีนาคม พ.ศ.2551	80
(จ) วันที่ 9 มีนาคม พ.ศ.2551	80

## สารบัญภาพ(ต่อ)

	หน้าที่
รูปที่ 3-22 Skew-T จาก MM5 ณ ศูนย์อุตุนิยมวิทยาจังหวัดเชียงใหม่ เวลา 13.00 น.	
(ก) วันที่ 17 มีนาคม พ.ศ.2551	81
(ข) วันที่ 18 มีนาคม พ.ศ.2551	81
(ค) วันที่ 19 มีนาคม พ.ศ.2551	81
(ง) วันที่ 20 มีนาคม พ.ศ.2551	81
รูปที่ 3-23 Skew-T จาก MM5 ณ ศูนย์อุตุนิยมวิทยาจังหวัดเชียงใหม่ เวลา 13.00 น.	
(ก) วันที่ 23 มีนาคม พ.ศ.2551	82
(ข) วันที่ 24 มีนาคม พ.ศ.2551	82
รูปที่ 3-24 ความเร็วลมตามแนวตะวันตก-ตะวันออกและตามแนวดิ่ง วันที่ 24 มกราคม 2551	
(ก) ความเร็วลม ณ เวลา 01.00 น.	83
(ข) ความเร็วลม ณ เวลา 13.00 น.	83
รูปที่ 3-25 ความเร็วลมตามแนวตะวันตก-ตะวันออกและตามแนวดิ่งวันที่ 15 กุมภาพันธ์ 2551	
(ก) ความเร็วลม ณ เวลา 01.00 น.	83
(ข) ความเร็วลม ณ เวลา 13.00 น.	83
รูปที่ 3-26 ความเร็วลมตามแนวตะวันตก-ตะวันออกและตามแนวดิ่ง วันที่ 6 มีนาคม 2551	
(ก) ความเร็วลม ณ เวลา 01.00 น.	84
(ข) ความเร็วลม ณ เวลา 13.00 น.	84
รูปที่ 3-27 ความเร็วลมตามแนวตะวันตก-ตะวันออกและตามแนวดิ่ง วันที่ 23 มีนาคม 2551	
(ก) ความเร็วลม ณ เวลา 01.00 น.	84
(ข) ความเร็วลม ณ เวลา 13.00 น.	84
รูปที่ 3-28 แสดงปริมาณฝนสะสม 3 ชั่วโมง และสภาพถ่ายดาวเทียม	
วันที่ 27 มกราคม พ.ศ.2551	
(ก) ปริมาณฝนสะสม ณ เวลา 04.00 น	85
(ข) สภาพถ่ายดาวเทียม ณ เวลา 04.00 น.	85
(ค) ปริมาณฝนสะสม ณ เวลา 07.00 น.	86
(ง) สภาพถ่ายดาวเทียม ณ เวลา 07.00 น.	86

## สารบัญภาพ(ต่อ)

	หน้าที่
รูปที่ 3-29 แสดงปริมาณฝนสะสม 3 ชั่วโมง และภาพถ่ายดาวเทียม วันที่ 24 มีนาคม 2551	86
(ก) ปริมาณฝนสะสม ณ เวลา 16.00 น	86
(ข) ภาพถ่ายดาวเทียม ณ เวลา 16.00 น.	87
(ค) ปริมาณฝนสะสม ณ เวลา 19.00 น.	87
(ง) ภาพถ่ายดาวเทียม ณ เวลา 19.00 น.	87
รูปที่ 3-30 แสดง Hot Spot จากภาพดาวเทียม วันที่ 24-25 มีนาคม 2551	89
รูปที่ 3-31 แสดงการเปลี่ยนแปลงความดัน ณ ศูนย์อุตุนิยมวิทยา จังหวัดเชียงใหม่	90
รูปที่ 3-32 แสดงการเปลี่ยนแปลงอุณหภูมิ ณ ศูนย์อุตุนิยมวิทยา จังหวัดเชียงใหม่	90
รูปที่ 3-33 แสดงการเปลี่ยนแปลงความชื้นสัมพัทธ์ ณ ศูนย์อุตุนิยมวิทยา จังหวัดเชียงใหม่	91
รูปที่ 3-34 ปริมาณฝนสะสม 3 ชั่วโมง ณ ศูนย์อุตุนิยมวิทยา จังหวัดเชียงใหม่	91
รูปที่ 3-35 แสดงการเปลี่ยนแปลงความดัน ณ สถานีตรวจวัดอากาศ จังหวัดลำพูน	92
รูปที่ 3-36 แสดงการเปลี่ยนแปลงอุณหภูมิ ณ สถานีตรวจวัดอากาศ จังหวัดลำพูน	92
รูปที่ 3-37 แสดงการเปลี่ยนแปลงความชื้นสัมพัทธ์ ณ สถานีตรวจวัดอากาศ จังหวัดลำพูน	93
รูปที่ 3-38 ปริมาณฝนสะสม 3 ชั่วโมง ณ สถานีตรวจวัดอากาศ จังหวัดลำพูน	93
รูปที่ 3-39 แสดงการเปลี่ยนแปลงความดัน ณ สถานีตรวจวัดอากาศ จังหวัดเชียงราย	94
รูปที่ 3-40 แสดงการเปลี่ยนแปลงอุณหภูมิ ณ สถานีตรวจวัดอากาศ จังหวัดเชียงราย	94
รูปที่ 3-41 แสดงการเปลี่ยนแปลงความชื้นสัมพัทธ์ ณ สถานีตรวจวัดอากาศ จังหวัดเชียงราย	95
รูปที่ 3-42 ปริมาณฝนสะสม 3 ชั่วโมง ณ สถานีตรวจวัดอากาศ จังหวัดเชียงราย	95
รูปที่ 3-43 แสดงการเปลี่ยนแปลงความดัน ณ สถานีตรวจวัดอากาศ จังหวัดลำปาง	96
รูปที่ 3-44 แสดงการเปลี่ยนแปลงอุณหภูมิ ณ สถานีตรวจวัดอากาศ จังหวัดลำปาง	96
รูปที่ 3-45 แสดงการเปลี่ยนแปลงความชื้นสัมพัทธ์ ณ สถานีตรวจวัดอากาศ จังหวัดลำปาง	97
รูปที่ 3-46 ปริมาณฝนสะสม 3 ชั่วโมง ณ สถานีตรวจวัดอากาศ จังหวัดลำปาง	97

## บทที่ 1

### บทนำ

#### **1.1 ที่มาและความสำคัญ**

วิกฤตปัญหาหมอกควันในเขตภาคเหนือตอนบน ช่วงเดือนมีนาคม 2550 โดยข้อมูลการตรวจวัดคุณภาพอากาศของกรมควบคุมมลพิษ ที่สถานีตรวจน้ำด้วยเครื่องมือเชิงใหม่ พบว่า มีระดับความเข้มข้นของฝุ่นละอองขนาดเล็กกว่า 10 ไมครอน (PM10) เกินมาตรฐาน (120 ไมครอรัมต่ออากาศ 1 ลูกบาศก์เมตร) เกือบทุกวัน โดยเฉพาะวันที่ 14 มีนาคม 2550 วัดได้ 309.8 ไมครอรัม/ลูกบาศก์เมตร ทั้งนี้สถานที่หลักคือการเผาป่า ที่นา สวน ไร่ การเผาใบไม้หลุดแห้ง คันรอก การก่อสร้าง อุตสาหกรรมพื้นบ้านในแอ่งเชียงใหม่-ลำพูน และฝุ่นละอองจากแหล่งกำเนิดภายนอกที่ลูกลมพัดเข้าสู่แอ่งเชียงใหม่-ลำพูน ประกอบกับสภาพอากาศที่เอื้อต่อการสะสมของฝุ่นละอองในอากาศ ทำให้ฝุ่นขนาดเล็กไม่สามารถฟุ้งกระจายสู่บรรยากาศชั้นสูงได้ ส่งผลกระทบต่อสุขภาพของประชาชนในเขตภาคเหนือตอนบน รายงานวิจัยฉบับสมบูรณ์ของสำนักงานคณะกรรมการวิจัยแห่งชาติ พฤศจิกายน พ.ศ.2551 เรื่อง “การจำลองสภาพการกระจายของฝุ่นละอองขนาดเล็กตามภาวะอากาศแปรปรวนในแอ่งเชียงใหม่” โดย รศ.ดร.เจียมใจ เครือสุวรรณ และคณะ พบว่าฝุ่นละออง(PM10)ในแอ่งเชียงใหม่ เกิดจากแหล่งกำเนิดไฟป่าตลอดจน การเผาวัสดุทางการเกษตรในแอ่งเชียงใหม่มีปริมาณฝุ่นละอองขนาดเล็กคิดเป็นสัดส่วน 54-71 % และจากท่อไอเสียรถเครื่องยนต์ดีเซล ไม่เกิน 10% ของค่าตรวจวัดฝุ่นละอองทั้งหมดในอากาศจากกรมควบคุมมลพิษ ณ สถานีตรวจวัดอำเภอเมืองเชียงใหม่ และปริมาณฝุ่นละอองที่ลูกลมจากแหล่งกำเนิดนอกแอ่งเชียงใหม่ช่วยเสริมทำให้มีปริมาณฝุ่นละอองเพิ่มขึ้น ฝุ่นละอองเป็นสารพิษหลักในบรรยากาศที่ทำให้เกิดผลกระทบทางอากาศในจังหวัดเชียงใหม่และจังหวัดใกล้เคียงในภาคเหนือ ในช่วง 2-3 ปีที่ผ่านมา

ลงขบวนการณ์ต่างๆ ที่ใช้แบบจำลอง The fifth generation Penn State/NCAR mesoscale model (MM5) ซึ่งเป็นแบบจำลองสภาพอากาศท้องถิ่นที่พัฒนาร่วมกันโดย Pennsylvania State University และ National Center for Atmospheric Research (NCAR) เพื่อใช้เป็นเครื่องมือในการวิเคราะห์การเปลี่ยนแปลงฯ ในอากาศ ที่มีผลต่อสภาพอากาศ และ การพยากรณ์อากาศ

#### **1.2 วัตถุประสงค์**

วิเคราะห์สภาพอากาศและเฝ้าระวังการเกิดผลกระทบทางอากาศ

### 1.3 ขอบเขตงานวิจัย

- ทำการศึกษาและวิเคราะห์สภาพอากาศ ตั้งแต่เดือน มกราคม – มีนาคม ในปี พ.ศ. 2549 พ.ศ. 2550 โดยแบบจำลองสภาพอากาศ MM5 ในพื้นที่ดำเนินการอย่างเชียงใหม่-ลำพูน ได้แก่ อำเภอเมือง เชียงใหม่และลำพูน รวมทั้งปริมณฑล เพื่อหาข้อสรุปเรื่องไขของสภาพอากาศที่เอื้อต่อการเกิดมวลภาวะอากาศในแหล่งเชียงใหม่-ลำพูน ในช่วง 2-3 ปีที่ผ่านมา และจำลองสภาพอากาศล่วงหน้า ในปี พ.ศ. 2551 พร้อมทั้งเฝ้าระวังการเกิดมวลภาวะอากาศตามเงื่อนไขที่ได้

- ระยะเวลาการดำเนิน 6 เดือน ตั้งแต่ 1 ธันวาคม 2550 ถึง 31 พฤษภาคม 2551

### 1.4 วิธีการวิจัย

#### 1.4.1 การจำลองสภาพอากาศด้วยแบบจำลอง MM5

##### - ข้อมูลนำเข้าแบบจำลอง

1) ลักษณะภูมิประเทศและการใช้ที่ดิน (Topography and Land use)

การวิจัยนี้ได้ใช้ข้อมูลจากผลการสำรวจภาคพื้นดินและดาวเทียมของ หน่วยงาน US Geological Survey (USGS) ซึ่งได้ปรับสภาพตามคำแนะนำและเงื่อนไขของแบบจำลอง MM5 ตามเส้นรุ้งและเส้นทางที่ครอบคลุมขอบเขตของประเทศไทยและประเทศข้างเคียง ไม่ได้ใช้ ข้อมูลสภาพภูมิประเทศและการใช้ที่ดินจากผลการวิจัยอื่นที่ไม่มีอยู่ในระบบของแบบจำลอง MM5

2) ข้อมูลสภาพอากาศ(gridded atmospheric data)

ข้อมูลสภาพอากาศอย่างน้อยต้องมีตัวแปร ต่อไปนี้ ความกดอากาศระดับน้ำทะเล ความเร็วลม อุณหภูมิ ความชื้นสัมพันธ์ และ geopotential height ที่ระดับความดันอากาศ pressure level ดังต่อไปนี้ 1000 850 700 500 400 300 250 200 150 และ 100 มิลลิบาร์ ซึ่งเป็น ข้อมูลสภาพอากาศจากแบบจำลองสภาพอากาศโลกที่ผ่านการวิเคราะห์เทียบค่าตรวจวัด โดย National Centers for Environmental Protection (NCEP) สามารถดาวโหลดข้อมูลสภาพอากาศนี้ได้จาก web page ของ NCAR ที่ Data Support Section of NCAR/SCD :

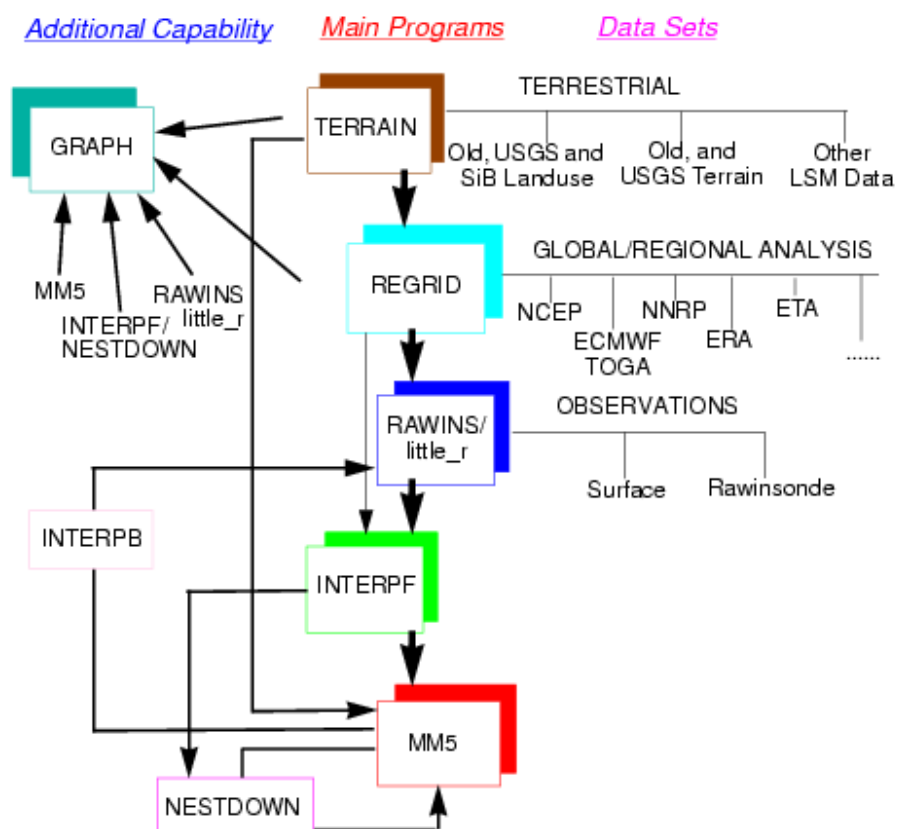
<http://dss.ucar.edu/datasets/dsNNN.x/MSS-file-list.html>

หรือ <ftp://ncardata.ucar.edu/datasets/dsNNN.x>

งานวิจัยนี้ไม่ได้เลือกใช้ในส่วนของโปรแกรม RAWINS/LITTLE\_R ซึ่งต้องใช้ข้อมูล การตรวจวัดสภาพอากาศตามแนวคิ่ง และค่าตรวจวัดภาคพื้นดินของประเทศไทย เนื่องจาก ความถี่เชิงระยะห่างของสถานีตรวจวัดไม่เพียงพอ

- การทำงานของแบบจำลอง MM5

The MM5 Modeling System Flow Chart



รูปที่ 1-1 แผนภูมิแสดงการทำงานของแบบจำลอง MM5

การทำงานของแบบจำลอง MM5 มีหลายวิธีการ ตามลูกศรที่แสดงในแผนงานดังรูปที่ 1-1 งานวิจัยนี้  
เลือกขั้นตอนการใช้แบบจำลอง MM5 ดังนี้

TERRAIN -----> REGRID -----> INTERPF -----> MM5

สำหรับผู้ที่สนใจ สามารถเข้าศึกษาและทดลองใช้แบบจำลอง MM5 ได้จาก MM5 Web page

URL: <http://www.mmm.ucar.edu/mm5/document/tutorial-v3-notes.html> และ  
<http://www.mmm.ucar.edu/mm5/documents/MM5-tut-Web-notes/Tutor.html> ซึ่งเป็น online tutorial  
 อธิบายการใช้MM5 ตามขั้นตอนตลอดจนการ download และติดตั้งแบบจำลอง MM5 หรือ ศึกษาจาก  
 PSU/NCAR Mesoscale Modeling System Tutorial Class Notes and User's Guide:MM5 Modeling

System Version 3 Mesoscale and Microscale Meteorology Division, National Center for Atmospheric Research

แบบจำลอง MM5 สร้างขึ้นมาตามหลักการและทฤษฎีของ mesoscale circulation and process ซึ่งเป็นวิชาเฉพาะทาง NCAR แนะนำว่าผู้ใช้ควรมีความรู้พื้นฐานเกี่ยวกับวิทยาศาสตร์บรรยายกาศอย่างน้อยในระดับปริญญาโท ทั้งนี้ผู้สนใจทั่วไปสามารถศึกษาการใช้แบบจำลองได้ จาก User's Guide ซึ่งอธิบายรายละเอียดทุกขั้นตอน

## ส่วนที่ 1 TERRAIN

TERRIN เป็นส่วนที่กำหนดขอบเขตพื้นที่ ลักษณะภูมิประเทศและการใช้ที่ดิน เช่น

latitude, longitude, map projection, terrain elevation , landuse/vegetation, land-water mask, soil types, vegetation fraction, deep soil temperature เลือกตาม script ที่เป็นที่ยอมรับของ NCAR และได้กำหนดให้เป็นทางเลือกสำหรับผู้ใช้ ให้เหมาะสมกับพื้นที่ศึกษา

## ส่วนที่ 2 REGRID

REGRID เป็นโปรแกรมรับข้อมูลข้อมูลสภาพอากาศที่แต่ละระดับความดัน แล้ว กระจายข้อมูลตาม horizontal grid และ map project ของ MM5 ที่เลือกไว้จาก TERRAIN และ สร้าง file ที่พร้อมใช้สำหรับ INTERPF

### REGRID ประกอบด้วย 2 ส่วน ได้แก่

1. pregrid อ่านค่าข้อมูลสภาพอากาศ เช่น อุณหภูมิ ความดัน ความชื้น ฯลฯ
2. regridder จะทำการจัดวางข้อมูล ได้แก่ อุณหภูมิ ความเร็วลม ความชื้นสัมพัทธ์ ความสูง ความกดอากาศ หิมะที่ปักกลุ่มพื้นที่ ตามกริดและตามพื้นที่ที่เลือกไว้

#### \* RAWINS/little\_r \*

RAWINS/little\_r เป็น option ที่จะเลือกหรือไม่ก็ได้สำหรับบริเวณที่มีการตรวจวัดภาคพื้นที่กระจายอย่างเพียงพอ ก็คงเป็นประโยชน์ แต่สถานีตรวจวัดมีไม่นักพอจะทำให้ผลการจำลองผิดพลาด งานวิจัยนี้จึงไม่ได้เลือกใช้ RAWINS/little\_r

## ส่วนที่ 3 INTERPF

INTERPF เป็นโปรแกรมที่เปลี่ยนข้อมูลนำเข้าจาก pressure level ให้เป็น sigma level สำหรับเป็น initial and boundary conditions

แบบจำลอง MM5 วิเคราะห์ข้อมูลตามแนวคิดที่ปรับตามลักษณะภูมิประเทศที่ระดับล่างและพื้นที่ราบที่ระดับสูง เรียกว่า sigma level ( $\sigma$ ) โดยที่

$$\sigma = \frac{(p_0 - p_t)}{(P_{s0} - p_t)}$$

$P_0$  คือ ความดันที่ระดับความสูงที่สนใจ

$P_t$  คือ ความดันคงที่ระดับสูงสุดของแบบจำลอง

$P_{s0}$  คือ ความดันระดับอ้างอิงที่ผิวน้ำ

#### ส่วนที่ 4 MM5

MM5 เป็นโปรแกรมที่ทำการประมวลผลสภาพอากาศเชิงตัวเลขของแบบจำลอง โดยสามารถศึกษาสภาพอากาศในขนาดพื้นที่ 3 – 200 กิโลเมตร

#### - MM5 physics and dynamics options

Physics and dynamics options	Option
Cumulus Parameterizations	Betts-Miller cumulus scheme
Planetary Boundary Layer	Medium Range Forecast(MRF)
Moist Vertical Diffusion	Moist vertical diffusion in cloud
Horizontal Diffusion	Sigma-diffusion using temperature
Microphysics(Explicit Moisture) Schemes	Mixed-Phase (Reiner 1)
Radiation Schemes	CCM2 radiation
Surface Scheme(Multi-layers Soil temperature)	5-Layer Soil Model
Hydrostatically/Non-non-hydrostatically	Non-hydrostatically

MM5 physics and dynamics options สมการ สูตร ตลอดจน parameterization schemes ของขบวนการณ์ต่างๆ ที่เกิดขึ้นในบรรยากาศ ที่นักวิทยาศาสตร์ผู้เชี่ยวชาญทั่วโลก ช่วยกันพัฒนาปรับปรุงและ NCAR ยอมรับให้เป็น options ต่างๆ ที่ผู้ใช้เลือกใช้ตามความเหมาะสม ทางคณะผู้วิจัยได้ดำเนินการใช้แบบจำลอง MM5 ในการพยากรณ์อากาศ เส้นทาง พายุ ตลอดจนการวิเคราะห์สภาพอากาศต่างๆ มาตั้งแต่ พ.ศ.2545 พบว่า options ต่างๆ ที่เลือก ในตารางที่ 4.1.3 ให้ผลลัพธ์ใกล้เคียงกับสภาพอากาศของประเทศไทย ซึ่งทฤษฎี สมมุติฐาน ต่างๆ มีอธิบายในหนังสือ advanced dynamic meteorology และ numerical weather forecasting

#### - การแสดงผลลัพธ์ แบบจำลอง MM5

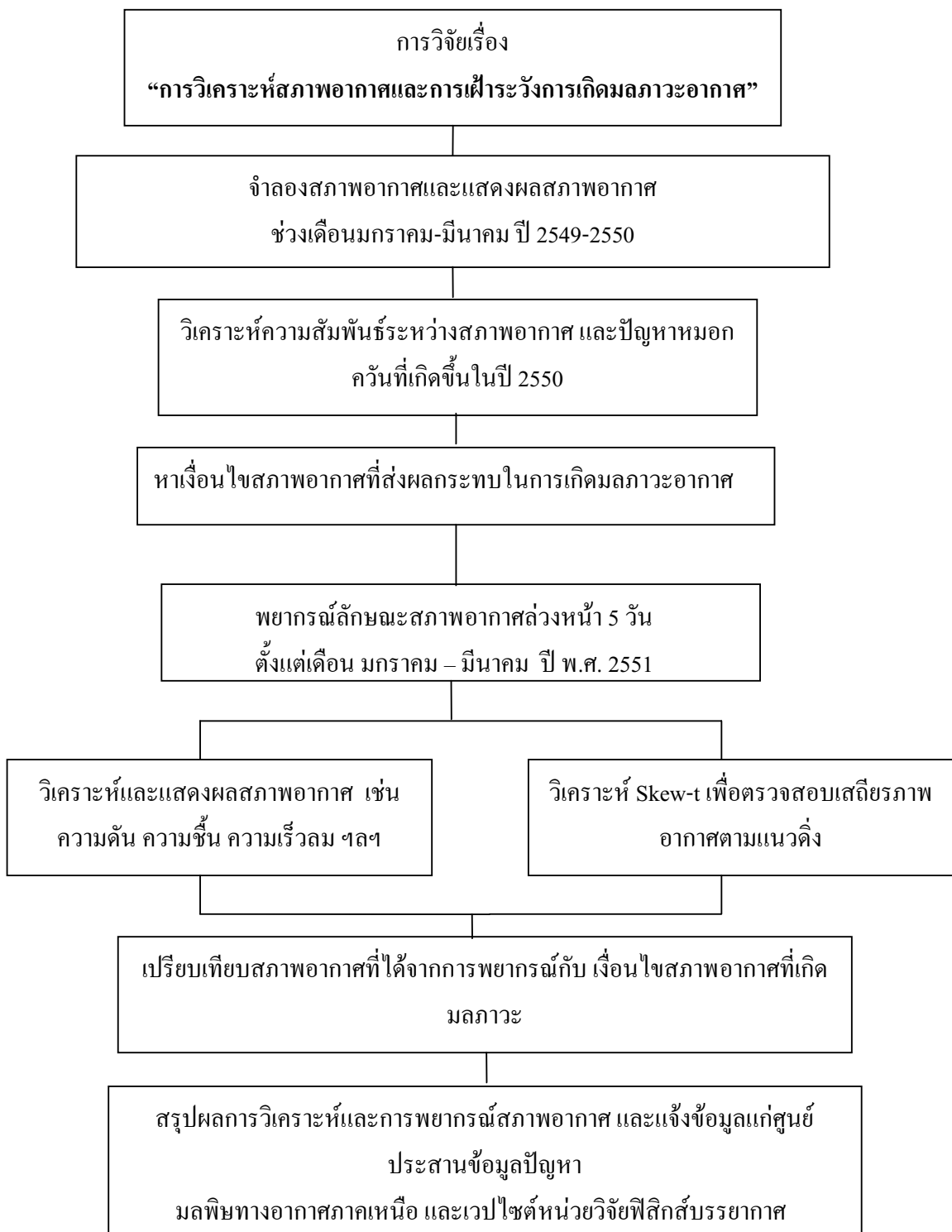
ผลการจำลองสภาพอากาศ แสดงด้วยใช้ NCAR Graphic (RIP4) สามารถศึกษาวิธีใช้และดาวน์โหลดโปรแกรมได้จากเวปไซต์ของ NCAR

[http://www.mmm.ucar.edu/mm5/WRF\\_post/RIP4.htm](http://www.mmm.ucar.edu/mm5/WRF_post/RIP4.htm)

### 1.4.2 การดำเนินงานวิจัย

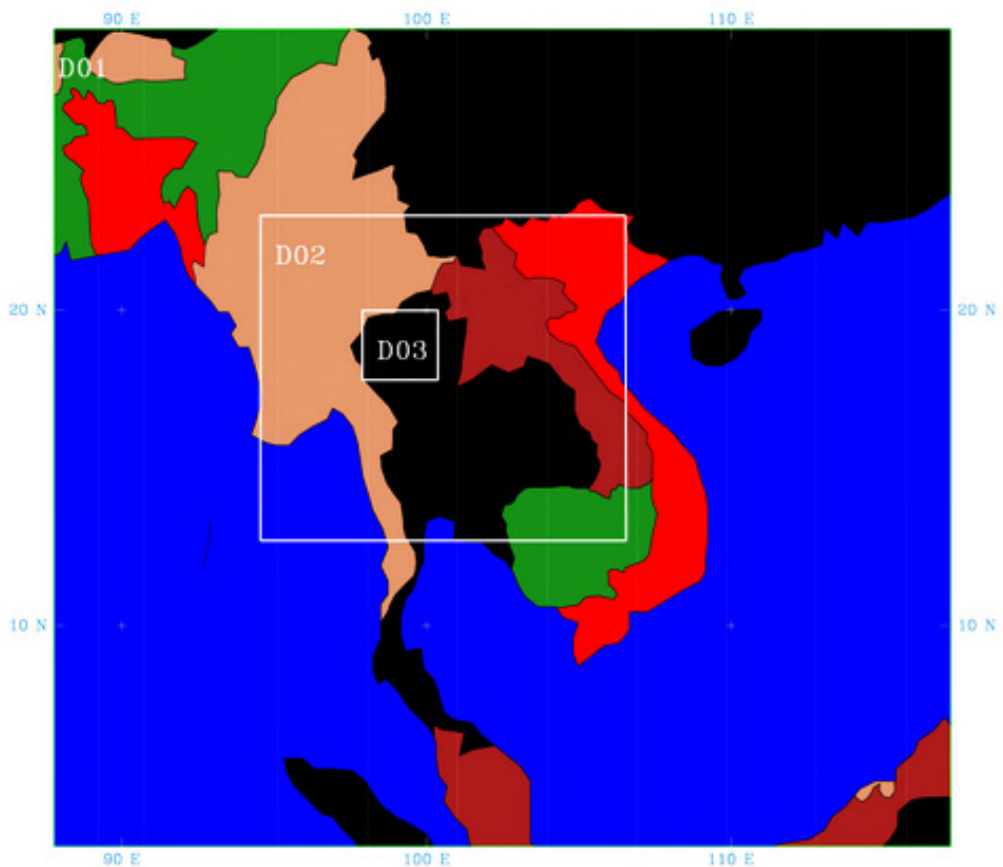
- 1) รวบรวมข้อมูลความเข้มข้นของฝุ่นละอองขนาดเล็ก จากสถานีตรวจวัดคุณภาพอากาศ ในพื้นที่เขตอำเภอเมืองเชียงใหม่ เดือน มกราคม – มีนาคม (ช่วงที่เกิดมลภาวะทางอากาศ) พ.ศ 2549 และ พ.ศ.2550 เพื่อศึกษาความเข้มข้นของฝุ่นละอองขนาดเล็ก (PM10) ในแต่ละวัน
- 2) จำลองสภาพอากาศและแสดงผลที่ได้จากการจำลองในเดือน มกราคม – มีนาคม ปี พ.ศ 2549 และปี พ.ศ. 2550
- 3) วิเคราะห์สภาพอากาศที่เกิดมลภาวะอากาศในแต่ละเชียงใหม่-ลำพูน
  - วิเคราะห์ลักษณะสภาพอากาศ เช่น อุณหภูมิ ความดันความเร็วลม ความชื้น เป็นต้น ที่ระดับพื้นผิวน้ำทึบระดับสูงประมาณ 7 กิโลเมตร ในช่วงเดือน มกราคม – มีนาคม พ.ศ. 2549 และ พ.ศ.2550 และพิจารณาเสถียรภาพอากาศ จากแผนภาพ Skew-T ซึ่งเป็นประเภทหนึ่งของ Energy diagram ของผลการจำลองสภาพอากาศ ด้วยแบบจำลอง MM5
  - validate สภาพอากาศตามแนวคิดจากการจำลอง MM5 เทียบกับสภาพอากาศตามแนวคิดที่ตรวจวัดที่ศูนย์พยากรณ์อากาศภาคเหนือเชียงใหม่
  - วิเคราะห์ความสัมพันธ์ระหว่างสภาพอากาศ และปัญหาหมอกควันที่ทำให้แอ่งเชียงใหม่-ลำพูน ประสบปัญหามลภาวะทางอากาศอย่างรุนแรงในปี 2550
  - สรุปเงื่อนไขสภาพอากาศที่เอื้อต่อการเกิดมลภาวะอากาศ เพื่อใช้เป็นแนวทางในการเฝ้าระวังปัญหาหมอกควัน
- 4) การเฝ้าระวังการเกิดมลภาวะทางอากาศ โดยทำการพยากรณ์ลักษณะสภาพอากาศ ล่วงหน้า 5 วัน ตั้งแต่เดือน มกราคม – มีนาคม ปี พ.ศ. 2551
  - ประมาณผลสภาพอากาศโดยแบบจำลอง MM5
  - วิเคราะห์และแสดงผลสภาพอากาศที่ได้จากการจำลอง MM5
  - วิเคราะห์แผนภาพ Skew-T เพื่อตรวจสอบเสถียรภาพอากาศตามแนวคิด
  - เปรียบเทียบสภาพอากาศที่ได้จากการพยากรณ์กับเงื่อนไขสภาพอากาศที่เกิดมลภาวะทางอากาศในปีที่ผ่านมา
  - สรุปผลการวิเคราะห์สภาพอากาศ และแจ้งข้อมูลแก่ศูนย์ประสานข้อมูลปัญหามลพิษทางอากาศภาคเหนือ และเวปไซต์หน่วยวิจัยฟิสิกส์บรรยายการ คณะวิทยาศาสตร์ มหาวิทยาลัยเชียงใหม่ <http://www.physics.science.cmu.ac.th/Atmoslab> เพื่อแจ้งเตือนประชาชนในพื้นที่แอ่งเชียงใหม่-ลำพูนให้ช่วยกันป้องกันมลภาวะทางอากาศที่อาจจะเกิดขึ้น

## แผนผังการดำเนินงานวิจัย

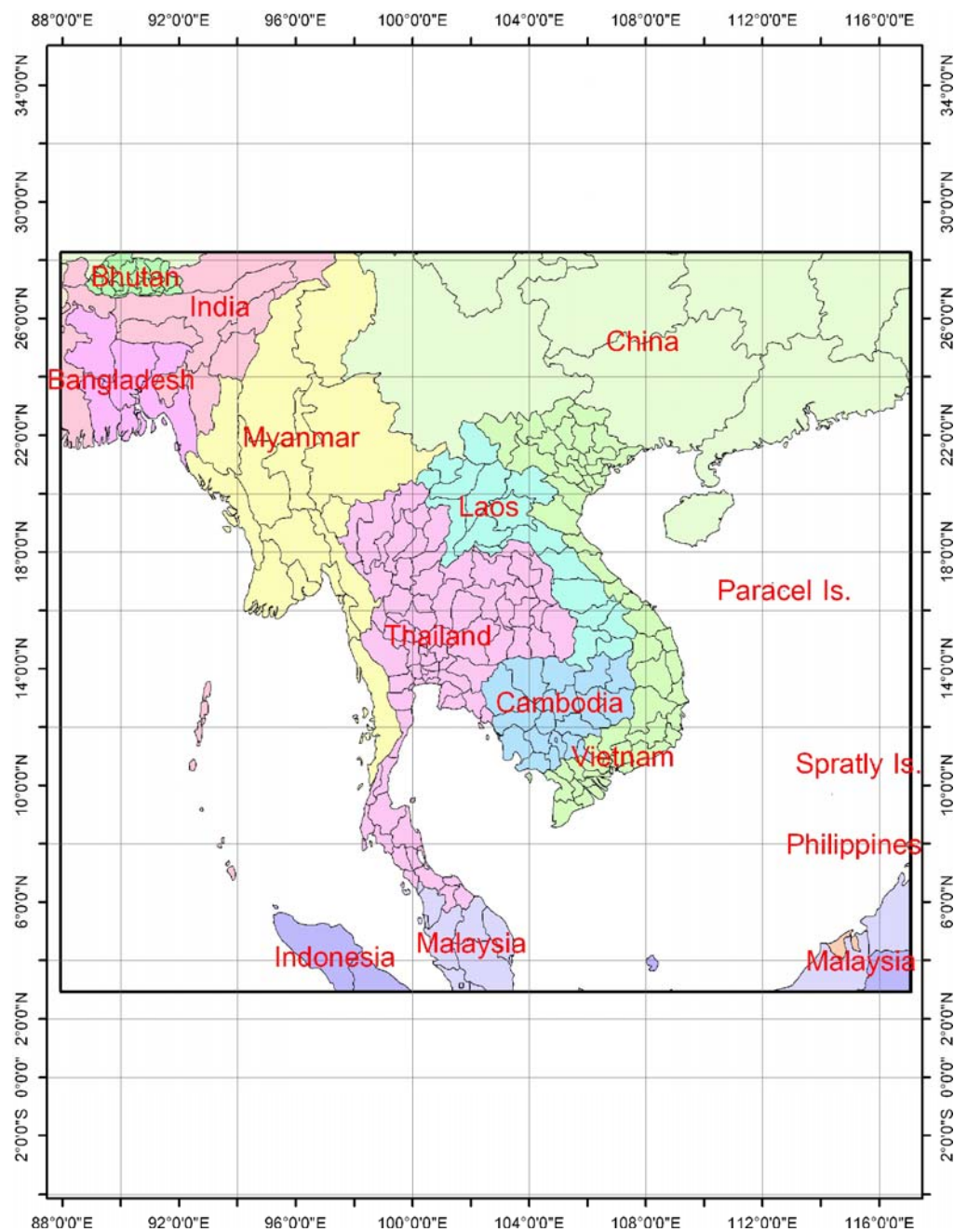


### 1.4.3 พื้นที่ที่ทำการศึกษา

การวิเคราะห์สภาพอากาศด้วยแบบจำลองสภาพอากาศ MM5 version 3.7 (The fifth generation NCAR/PSN mesoscale model) แบ่งขอบเขตการวิเคราะห์เป็น 3 domain ดังรูปที่ 1-2

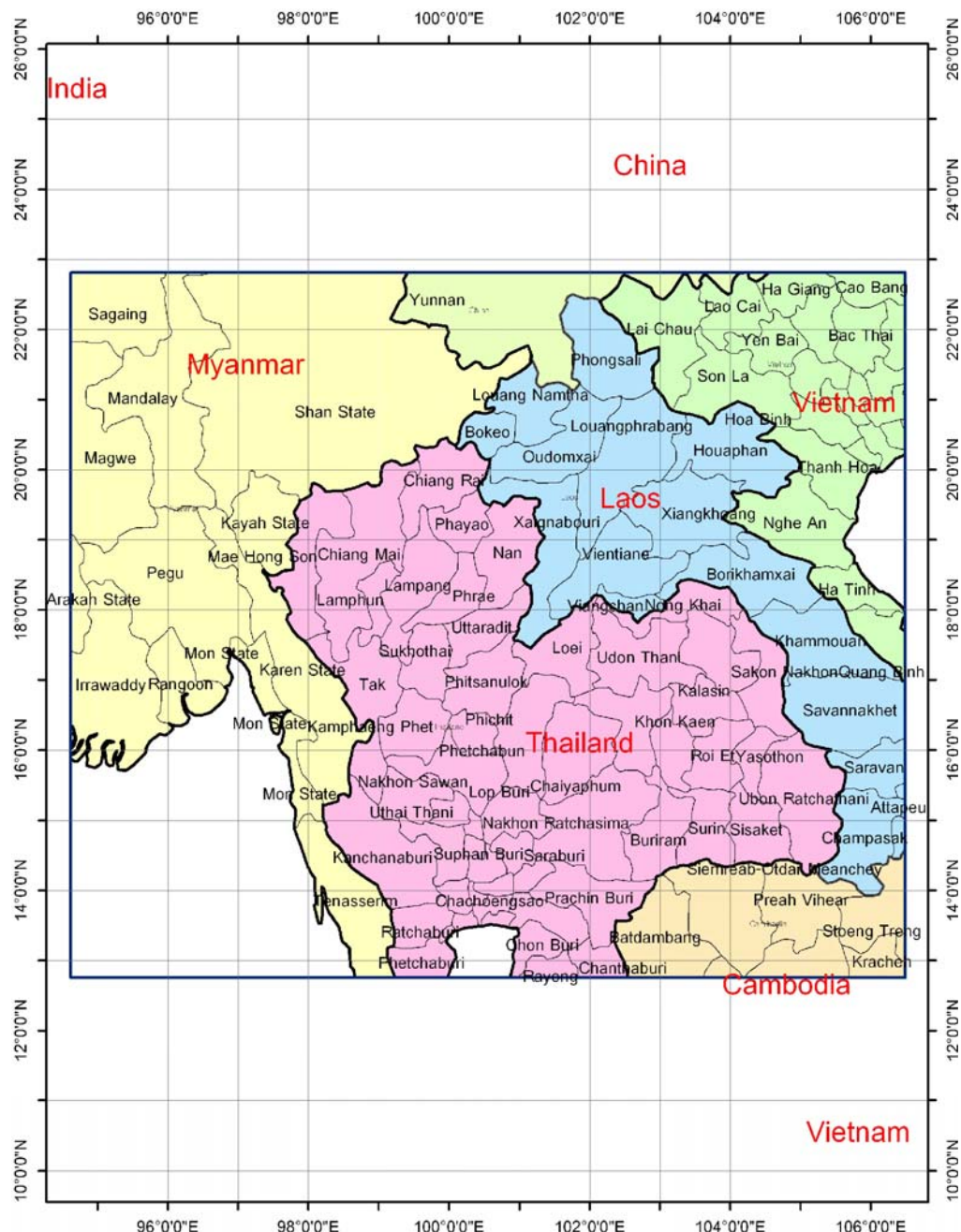


รูปที่ 1-2 พื้นที่ที่ทำการศึกษา 3 domains จากแบบจำลอง MM5



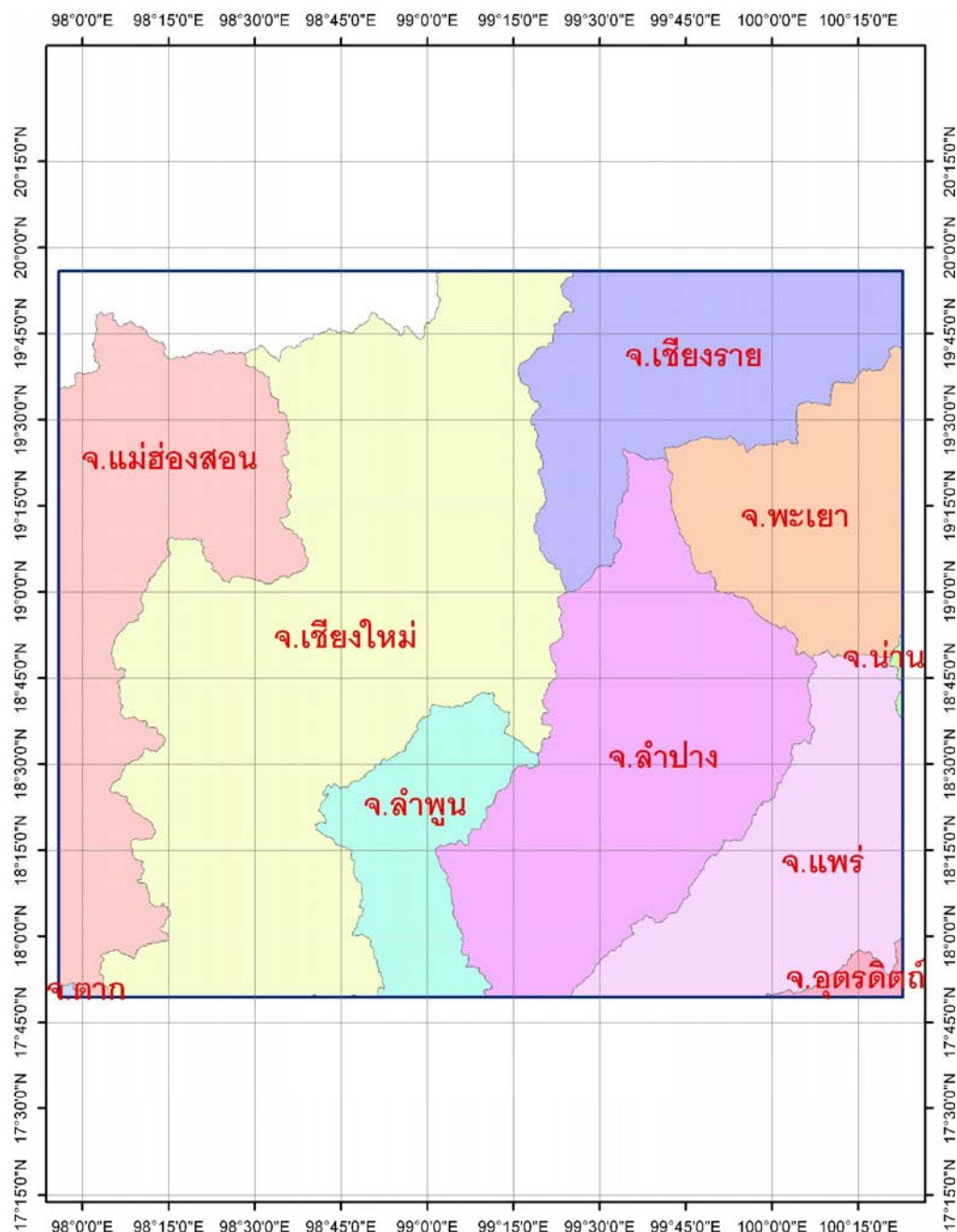
รูปที่ 1-3 แผนที่ของ domain 1 จากแบบจำลอง MM5

บริเวณที่ 1 ครอบคลุมพื้นที่ประเทศไทย บ้าน อาทิ พม่า, ลาว, กัมพูชา, มาเลเซีย ในเขตเด่นชัด  
 $2.93 - 28.27^{\circ}\text{N}$  และเด่นแวง  $87.93 - 117.07^{\circ}\text{E}$  ขนาดกริด 36 กิโลเมตร ดังรูปที่ 1-3  
 เพื่อให้ได้เงื่อนไขข้อมูลที่ใกล้เคียงสภาพอากาศจริง



รูปที่ 1-4 แผนที่ของ domain 2 จากแบบจำลอง MM5

บริเวณที่ 2 ครอบคลุมประเทศไทยตอนบนช่วงเดือนร้อน  $12.76\text{--}22.82^{\circ}\text{N}$  และเดือนแปร  $94.62\text{--}106.49^{\circ}\text{E}$  ขนาดกริด 12 กิโลเมตร ดังรูปที่ 1-4



รูปที่ 1-5 แผนที่ของ domain 3 จากแบบจำลอง MM5

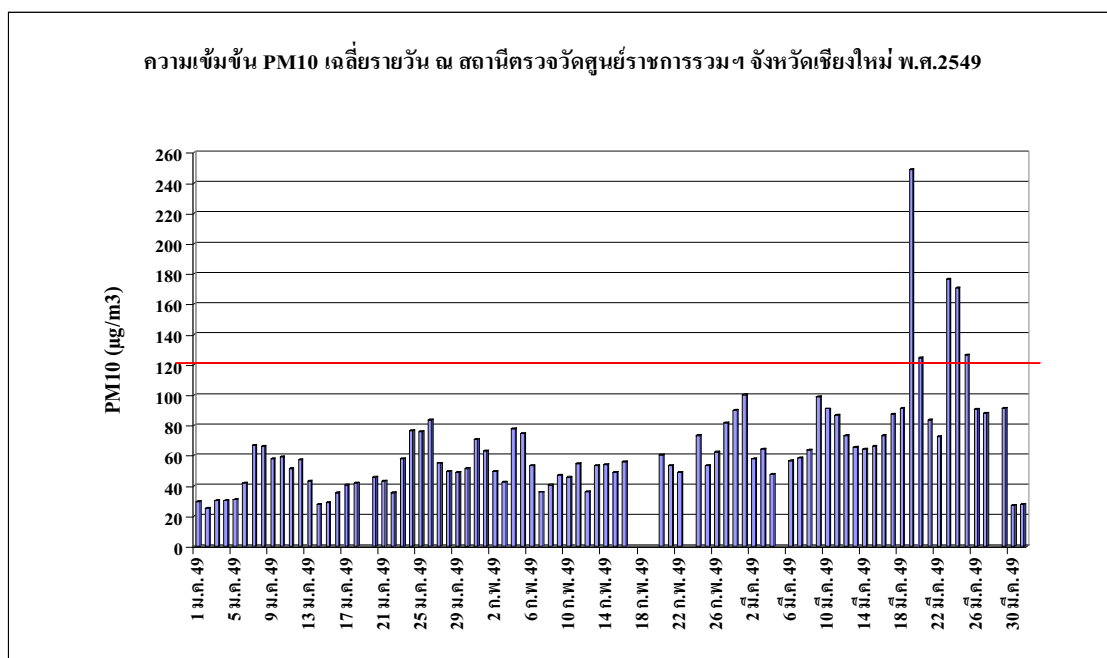
บริเวณที่ 3 ครอบคลุมพื้นที่ของจังหวัดเชียงใหม่และจังหวัดไก่คีียง  $17.82\text{-}19.93^{\circ}\text{N}$  และเส้น  
ลองจิจูด  $97.93\text{-}100.38^{\circ}\text{E}$  ขนาดกริด 4 กิโลเมตร ดังรูปที่ 1-5

## บทที่ 2

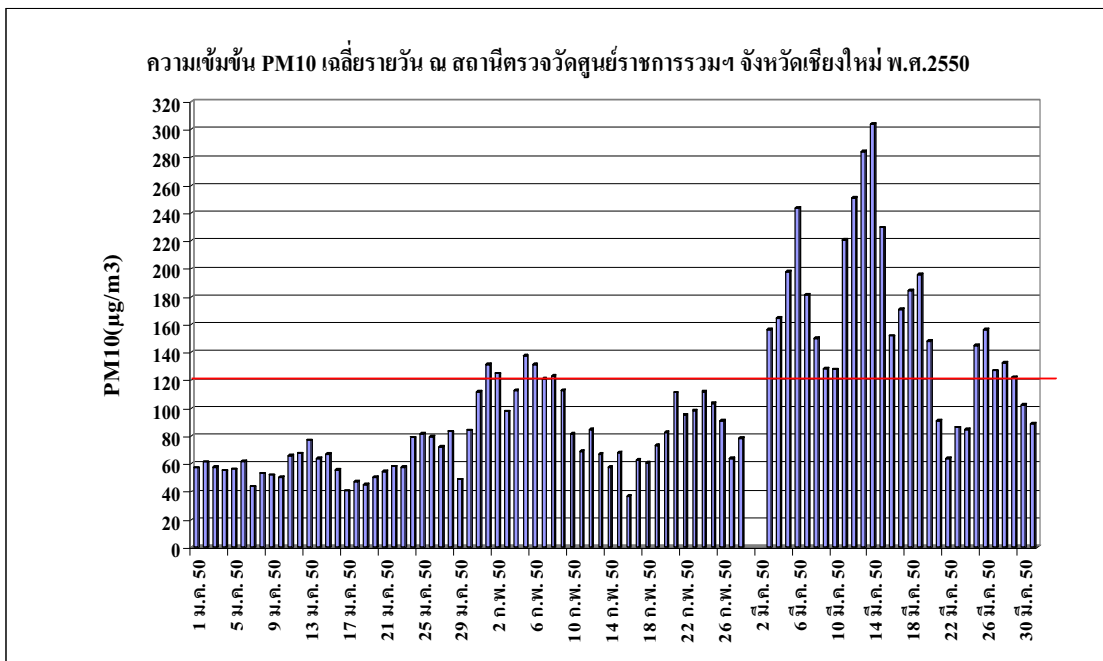
### ผลการศึกษาสภาพอากาศในปี พ.ศ.2549 และ พ.ศ.2550 ต่อปัญหาหมอกควัน

งานวิจัยนี้ได้ทำการศึกษาสภาพอากาศของแม่น้ำเจียงใหม่-ลำพูน โดยแบบจำลอง MM5 ในช่วงเดือนมกราคม – มีนาคม ปี พ.ศ. 2549 และ พ.ศ. 2550 และทำการศึกษาความสัมพันธ์ของสภาพอากาศ กับปัญหาหมอกควันที่เกิดขึ้น

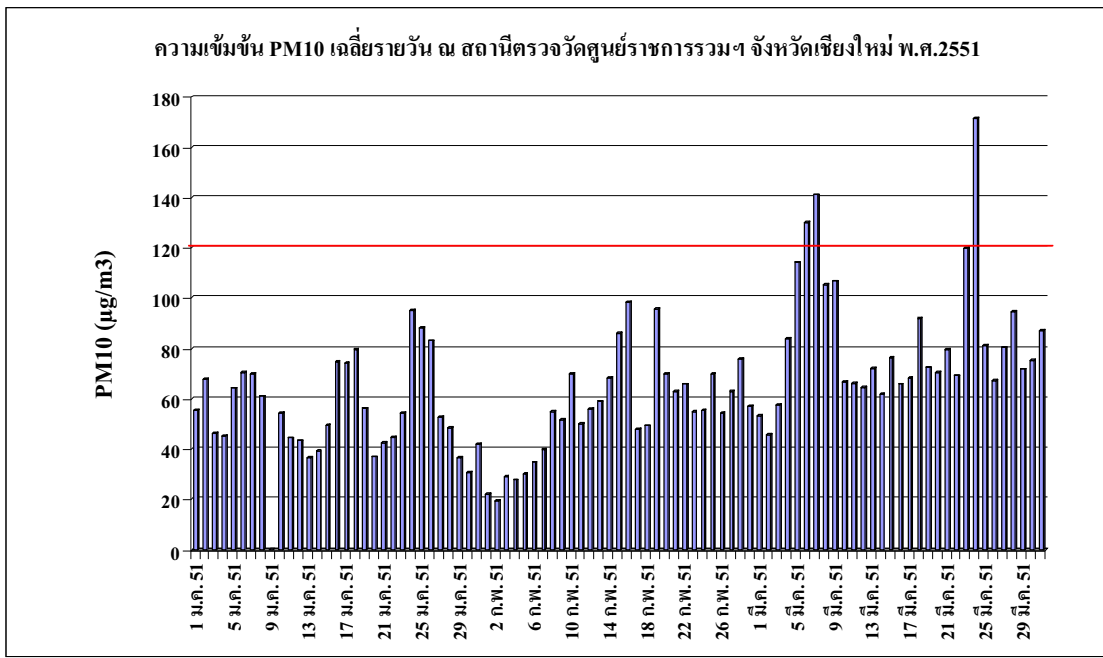
#### 2.1 ความเข้มข้นของฝุ่นละอองขนาดเล็ก จากสถานีตรวจวัดคุณภาพอากาศ



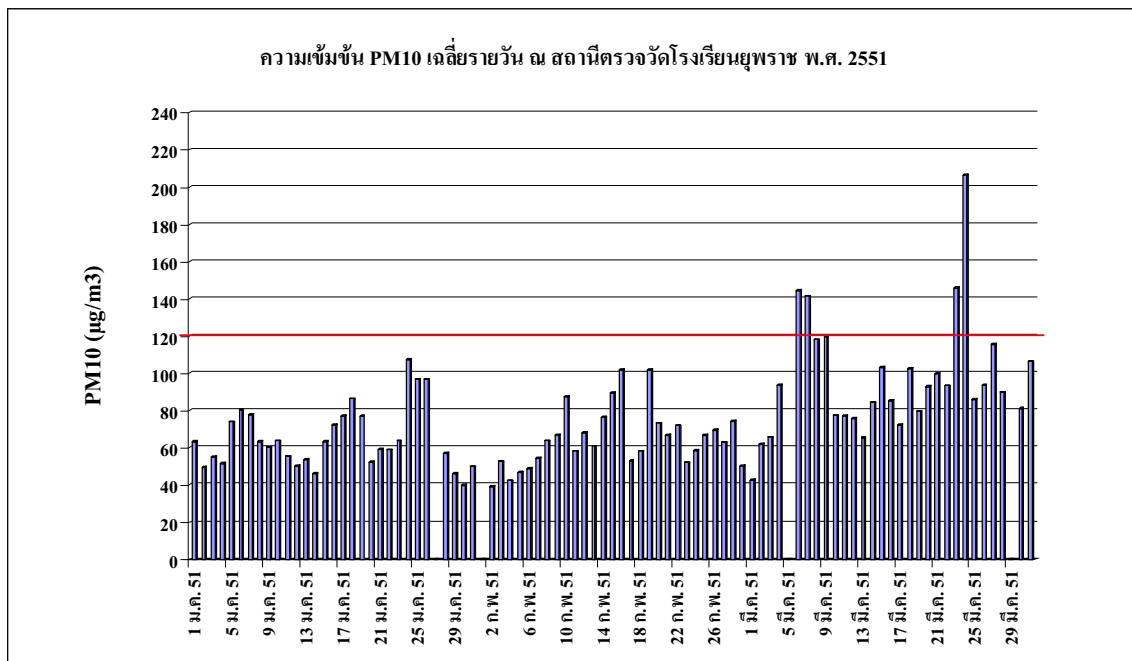
รูปที่ 2-1 ปริมาณฝุ่นละออง (PM10) เฉลี่ยรายวัน เดือน มกราคม – มีนาคม พ.ศ. 2549 ณ สถานีตรวจวัดศูนย์ราชภาร婺ฯ จังหวัดเชียงใหม่



รูปที่ 2-2 ปริมาณฝุ่นละออง (PM10) เฉลี่ยรายวัน เดือน มกราคม – มีนาคม พ.ศ. 2550 ณ สถานีตรวจดูด  
ศูนย์ราการรวมฯ จังหวัดเชียงใหม่



รูปที่ 2-3 ปริมาณฝุ่นละออง (PM10) เฉลี่ยรายวัน เดือน มกราคม – มีนาคม พ.ศ. 2551 ณ สถานีตรวจดูด  
ศูนย์ราการรวมฯ จังหวัดเชียงใหม่



รูปที่ 2-4 ปริมาณฝุ่นละออง (PM10) เฉลี่ยรายวัน เดือน มกราคม – มีนาคม พ.ศ. 2551 ณ สถานีตรวจวัด โรงเรียนยุพราชฯ จังหวัดเชียงใหม่

ข้อมูลความเข้มข้นของฝุ่นละออง (PM10) เฉลี่ยรายวัน เดือน มกราคม – มีนาคม พ.ศ. 2549 และ พ.ศ. 2551 ณ สถานีตรวจวัดคุณภาพอากาศศูนย์ราชการรวมฯ จากการควบคุมมลพิษ ดังรูปที่ 2-1 ถึง 2-4 พบว่า

ปี พ.ศ.2549 ความเข้มข้นของฝุ่นละอองเกินมาตรฐานจำนวน 5 วัน โดยความเข้มข้นของฝุ่นละอองสูงสุดวัดได้ วันที่ 19 มีนาคม เท่ากับ  $248.8 \mu\text{g}/\text{m}^3$

ปี พ.ศ.2550 ความเข้มข้นของฝุ่นละอองเกินมาตรฐานจำนวน 28 วัน โดยความเข้มข้นของฝุ่นละอองสูงสุดวัดได้ วันที่ 14 มีนาคม เท่ากับ  $303.9 \mu\text{g}/\text{m}^3$

ส่วนปี พ.ศ.2551 ความเข้มข้นของฝุ่นละอองเกินมาตรฐานจำนวน 4 วัน โดยความเข้มข้นของฝุ่นละอองสูงสุดวัดได้ วันที่ 24 มีนาคม เท่ากับ  $171.3 \mu\text{g}/\text{m}^3$

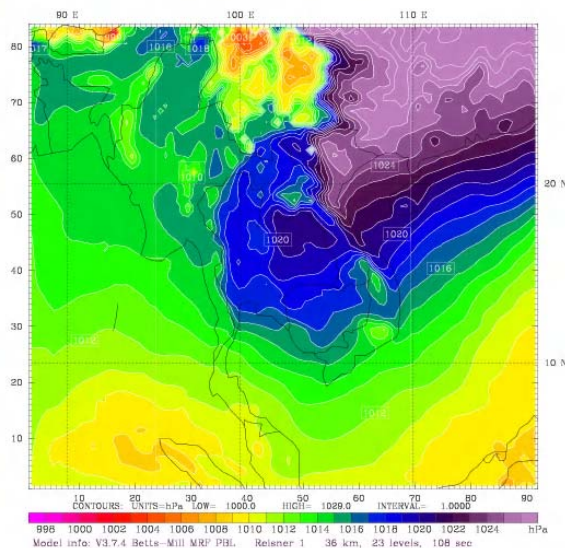
## 2.2 ผลการจำลองความกดอากาศโดยแบบจำลอง MM5

ช่วงเดือน มกราคม – มีนาคม เป็นช่วงที่ประเทศไทยได้รับอิทธิพลจากมรสุม ตะวันออกเฉียงเหนือ มีความกดอากาศสูงจากประเทศจีนเคลื่อนที่ไปคลุ่มประเทศไทยตอนบน

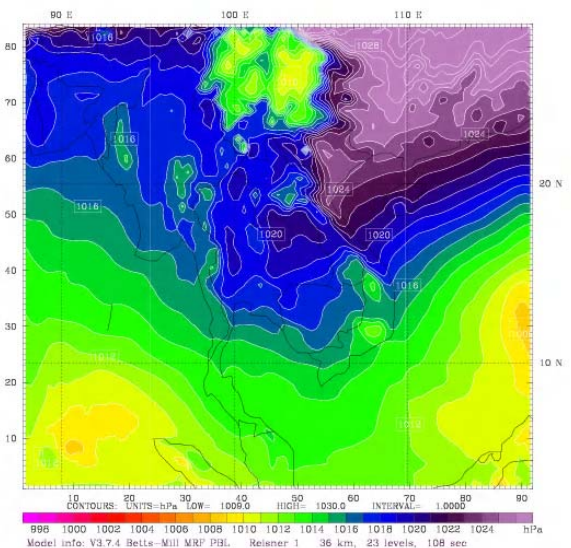
### 2.2.1 ความกดอากาศปี พ.ศ.2549

การประมวลผลโดยแบบจำลอง MM5 ปี พ.ศ. 2549 พบว่า มีความกดอากาศสูงสลับกับความกดอากาศต่ำไปคลุ่มประเทศไทย ตั้งแต่เดือนมกราคมถึงกลางเดือนมีนาคม โดยมีความกดอากาศสูงกำลังแรงปกคลุ่มตอนบนของประเทศไทยจนถึงจังหวัดประจวบคีรีขันธ์ ในวันที่ 23 – 27 มกราคม ขนาด 1016 - 1022 มิลลิบาร์ ดังรูปที่ 2-5 และ วันที่ 1 – 10 กุมภาพันธ์ ขนาด 1016 – 1021 มิลลิบาร์ ดังรูปที่ 2-6 และตั้งแต่ วันที่ 16 มีนาคมเป็นต้นไปประเทศไทยถูกปกคลุ่มความกดอากาศต่ำ ดังรูปที่ 2-7 ยกเว้นวันที่ 19 มีนาคม และ 28 – 30 มีนาคม ที่ความกดอากาศสูงจากจีนแผ่นดินมาอีกรั้งทำให้ภาคเหนือตอนบนมีความกดอากาศเพิ่มขึ้น ดังรูปที่ 2-8

MM5-CMU, Atmospheric Physics, Chiang Mai Univ. Init: 0000 UTC Sun 15 Jan 06  
Fest: 216.00 h Valid: 0000 UTC Tue 24 Jan 06 (0700 LST Tue 24 Jan 06)  
Sea-level pressure Sea-level pressure



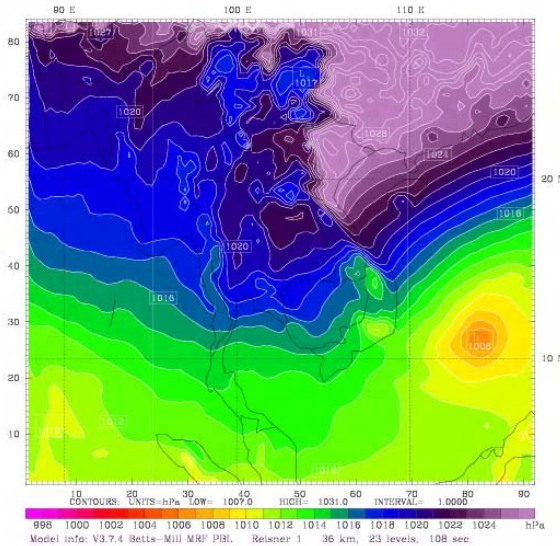
MM5-CMU, Atmospheric Physics, Chiang Mai Univ. Init: 0000 UTC Sun 15 Jan 06  
Fest: 240.00 h Valid: 0000 UTC Wed 25 Jan 06 (0700 LST Wed 25 Jan 06)  
Sea-level pressure Sea-level pressure



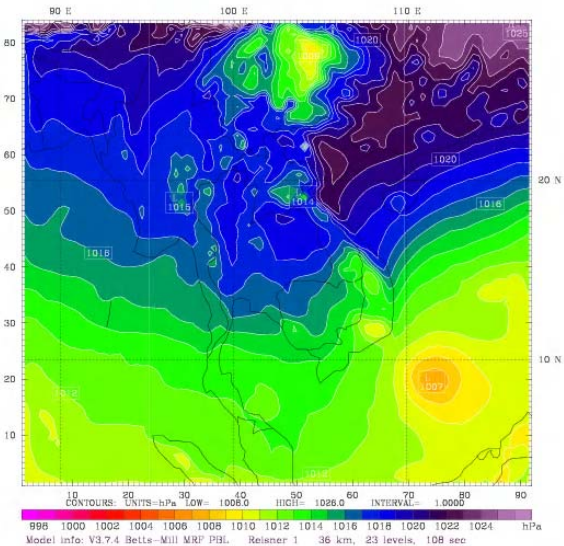
(η)

(ψ)

MM5-CMU, Atmospheric Physics, Chiang Mai Univ. Init: 0000 UTC Sun 15 Jan 06  
 Fest: 264.00 h Valid: 0000 UTC Thu 26 Jan 06 (0700 LST Thu 26 Jan 06)  
 Sea-level pressure Sea-level pressure



MM5-CMU, Atmospheric Physics, Chiang Mai Univ. Init: 0000 UTC Sun 15 Jan 06  
 Fest: 288.00 h Valid: 0000 UTC Fri 27 Jan 06 (0700 LST Fri 27 Jan 06)  
 Sea-level pressure Sea-level pressure



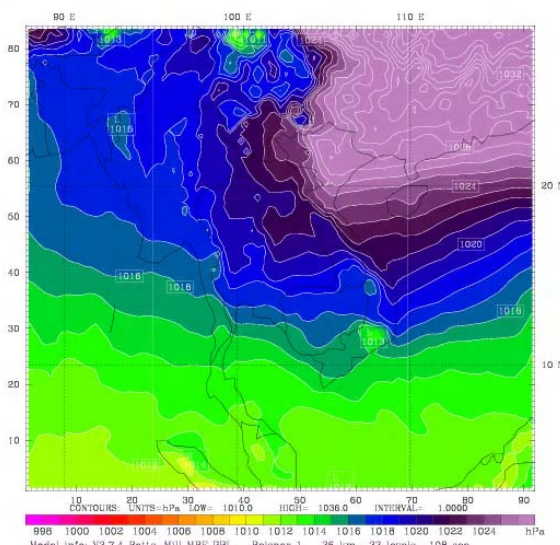
(ก)

รูปที่ 2-5 แสดงความกดอากาศที่ปกคลุมประเทศไทย เวลา 07.00 น.

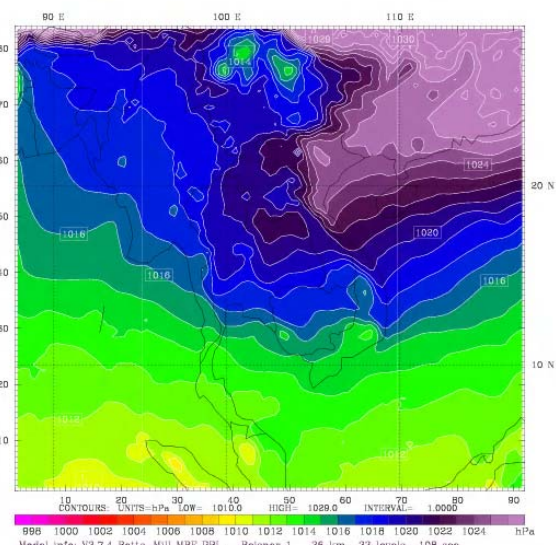
(ก) วันที่ 24 มกราคม พ.ศ.2549 (ข) วันที่ 25 มกราคม พ.ศ.2549

(ค) วันที่ 26 มกราคม พ.ศ.2549 (ง) วันที่ 27 มกราคม พ.ศ.2549

MM5-CMU, Atmospheric Physics, Chiang Mai Univ. Init: 0000 UTC Tue 31 Jan 06  
 Fest: 96.00 h Valid: 0000 UTC Sat 04 Feb 06 (0700 LST Sat 04 Feb 06)  
 Sea-level pressure Sea-level pressure



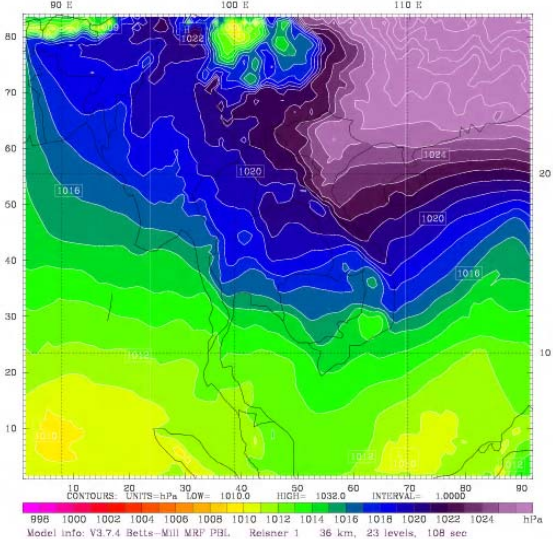
MM5-CMU, Atmospheric Physics, Chiang Mai Univ. Init: 0000 UTC Tue 31 Jan 06  
 Fest: 120.00 h Valid: 0000 UTC Sun 05 Feb 06 (0700 LST Sun 05 Feb 06)  
 Sea-level pressure Sea-level pressure



(ก)

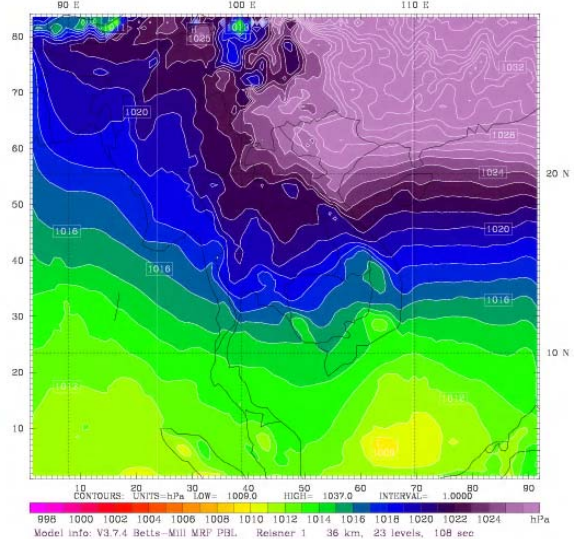
(ง)

MM5-CMU, Atmospheric Physics, Chiang Mai Univ. Init: 0000 UTC Tue 31 Jan 06  
 Fest: 192.00 h Valid: 0000 UTC Wed 08 Feb 06 (0700 LST Wed 08 Feb 06)  
 Sea-level pressure Sea-level pressure



(ก)

MM5-CMU, Atmospheric Physics, Chiang Mai Univ. Init: 0000 UTC Tue 31 Jan 06  
 Fest: 216.00 h Valid: 0000 UTC Thu 09 Feb 06 (0700 LST Thu 09 Feb 06)  
 Sea-level pressure Sea-level pressure



(ก)

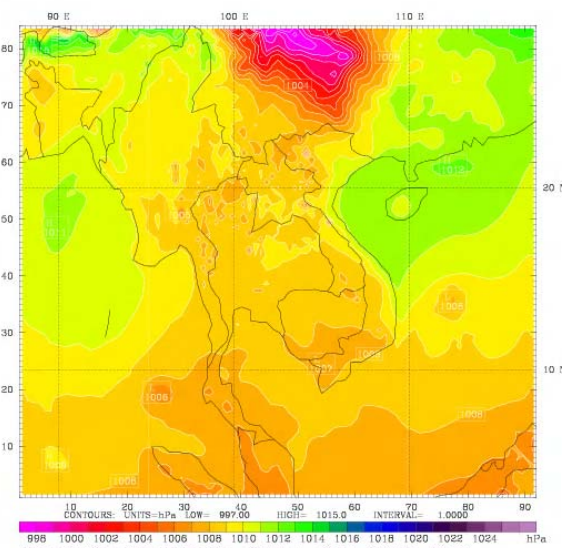
รูปที่ 2-6 แสดงความกดอากาศที่ปีกดลุ่มประเทศไทย เวลา 07.00 น.

(ก) วันที่ 4 กุมภาพันธ์ พ.ศ.2549 (ข) วันที่ 5 กุมภาพันธ์ พ.ศ.2549

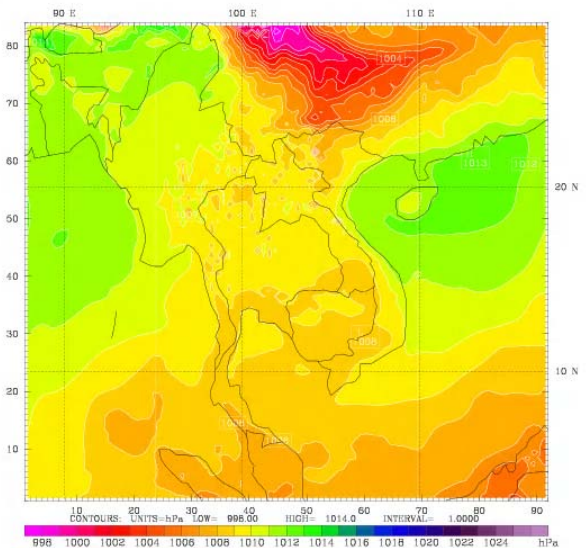
(ก) วันที่ 8 กุมภาพันธ์ พ.ศ.2549 (ก) วันที่ 9 กุมภาพันธ์ พ.ศ.2549

MM5-CMU, Atmospheric Physics, Chiang Mai Univ. Init: 0000 UTC Wed 15 Mar 06  
 Fest: 33.00 h Valid: 0900 UTC Thu 16 Mar 06 (1600 LST Thu 16 Mar 06)  
 Sea-level pressure Sea-level pressure

MM5-CMU, Atmospheric Physics, Chiang Mai Univ. Init: 0000 UTC Wed 15 Mar 06  
 Fest: 54.00 h Valid: 0600 UTC Fri 17 Mar 06 (1300 LST Fri 17 Mar 06)  
 Sea-level pressure Sea-level pressure

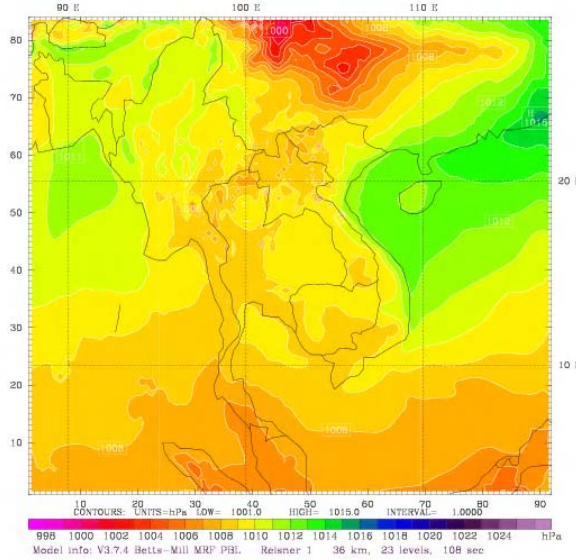


(ก)



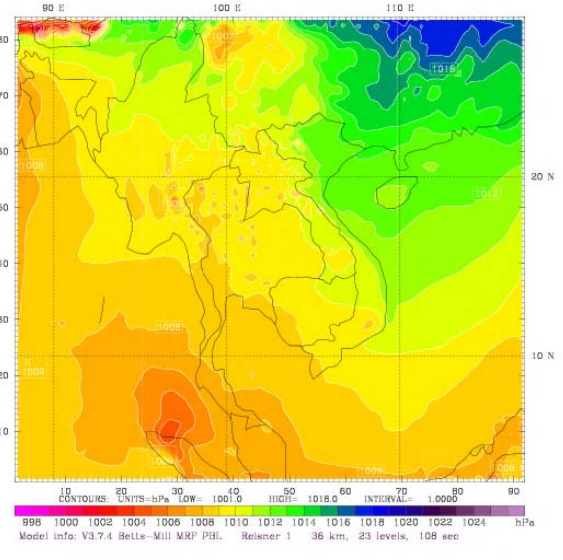
(ก)

MM5-CMU, Atmospheric Physics, Chiang Mai Univ. Init: 0000 UTC Wed 15 Mar 06  
 Fest: 129.00 h Valid: 0900 UTC Mon 20 Mar 06 (1600 LST Mon 20 Mar 06)  
 Sea-level pressure Sea-level pressure



(ก)

MM5-CMU, Atmospheric Physics, Chiang Mai Univ. Init: 0000 UTC Wed 15 Mar 06  
 Fest: 216.00 h Valid: 0000 UTC Fri 24 Mar 06 (0700 LST Fri 24 Mar 06)  
 Sea-level pressure Sea-level pressure



(จ)

รูปที่ 2-7 แสดงความกดอากาศที่ปักคุณประเทศไทย เวลา 07.00 น.

(ก) วันที่ 16 มีนาคม พ.ศ.2549

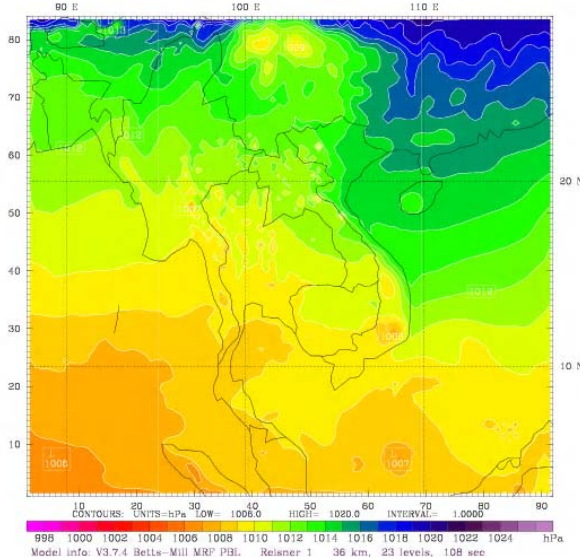
(ก) วันที่ 20 มีนาคม พ.ศ.2549

(ข) วันที่ 17 มีนาคม พ.ศ.2549

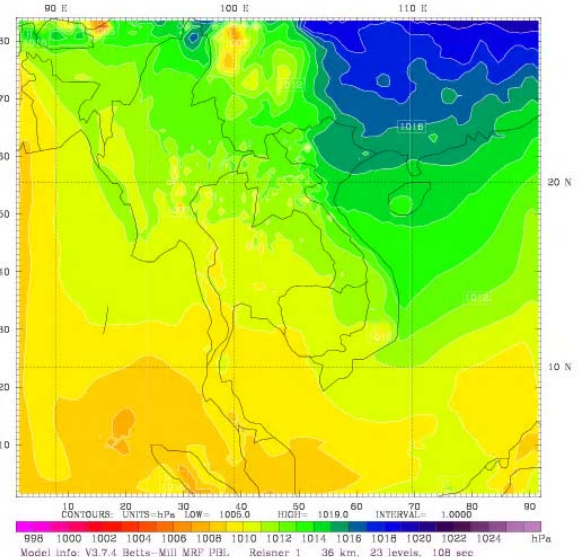
(ข) วันที่ 24 มีนาคม พ.ศ.2549

MM5-CMU, Atmospheric Physics, Chiang Mai Univ. Init: 0000 UTC Wed 15 Mar 06  
 Fest: 96.00 h Valid: 0000 UTC Sun 19 Mar 06 (0700 LST Sun 19 Mar 06)  
 Sea-level pressure Sea-level pressure

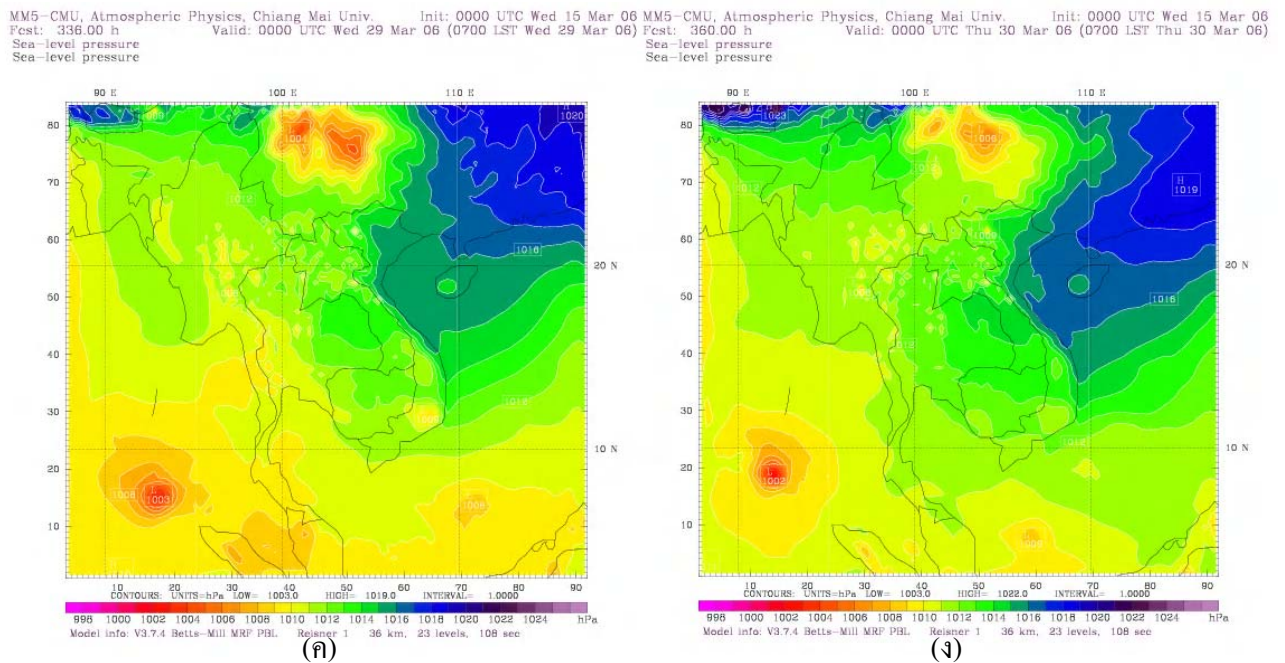
MM5-CMU, Atmospheric Physics, Chiang Mai Univ. Init: 0000 UTC Wed 15 Mar 06  
 Fest: 312.00 h Valid: 0000 UTC Tue 28 Mar 06 (0700 LST Tue 28 Mar 06)  
 Sea-level pressure Sea-level pressure



(ก)



(ข)



รูปที่ 2-8 แสดงความกดอากาศที่ปักคุณประเทศไทย เวลา 07.00 น.

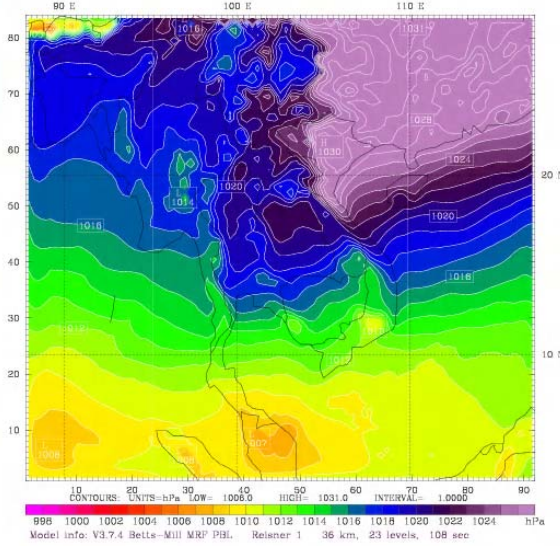
(ก) วันที่ 19 มีนาคม พ.ศ.2549 (ข) วันที่ 28 มีนาคม พ.ศ.2549

(ค) วันที่ 29 มีนาคม พ.ศ.2549 (ง) วันที่ 30 มีนาคม พ.ศ.2549

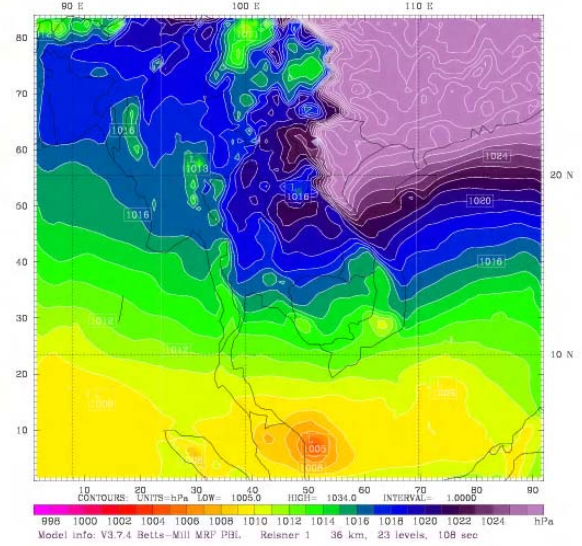
### 2.2.2 ความกดอากาศ ปี พ.ศ.2550

ปี พ.ศ.2550 พบว่า มีความกดอากาศสูงปักคุณประเทศไทยตลอดเดือนมกราคม จนถึงกลางเดือนกุมภาพันธ์ จากนั้นมีความกดอากาศสูงลดลงกับความกดอากาศต่ำปักคุณถึงปลายเดือนมีนาคม โดยความกดอากาศสูงกำลังแรงปักคุณตอนบนของไทยจนถึงจังหวัดชุมพร ในวันที่ 6 – 10 มกราคม ขนาด 1016 – 1022 มิลลิบาร์ ดังรูปที่ 2-9, 22 มกราคม – 3 กุมภาพันธ์ ขนาด 1016 – 1024 มิลลิบาร์ ดังรูปที่ 2-10

MM5-CMU, Atmospheric Physics, Chiang Mai Univ. Init: 0000 UTC Sun 31 Dec 06  
 Fest: 216.00 h Valid: 0000 UTC Tue 09 Jan 07 (0700 LST Tue 09 Jan 07)  
 Sea-level pressure Sea-level pressure

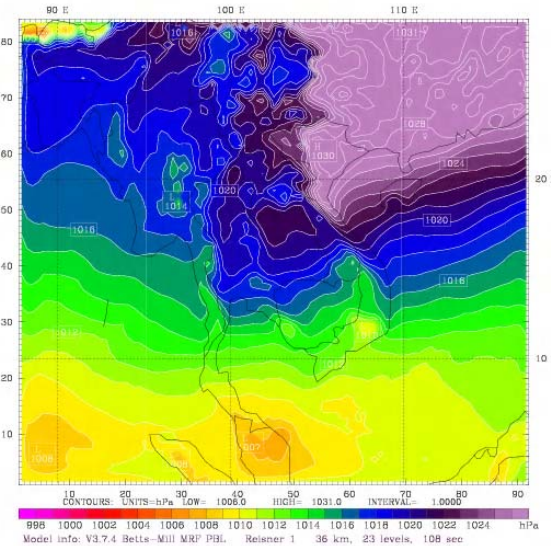


MM5-CMU, Atmospheric Physics, Chiang Mai Univ. Init: 0000 UTC Sun 31 Dec 06  
 Fest: 192.00 h Valid: 0000 UTC Mon 08 Jan 07 (0700 LST Mon 08 Jan 07)  
 Sea-level pressure Sea-level pressure



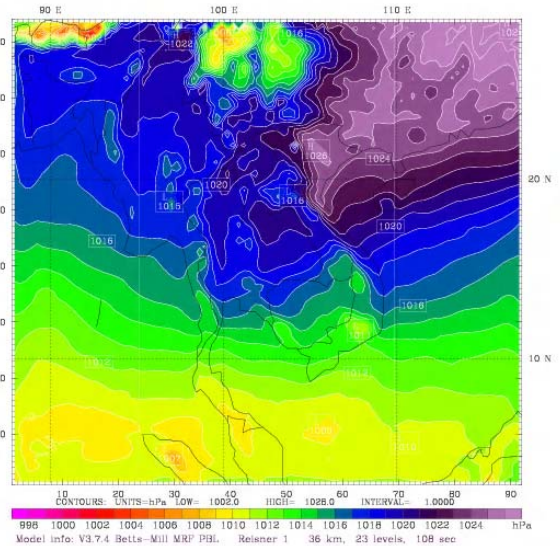
(ก)

MM5-CMU, Atmospheric Physics, Chiang Mai Univ. Init: 0000 UTC Sun 31 Dec 06  
 Fest: 216.00 h Valid: 0000 UTC Tue 09 Jan 07 (0700 LST Tue 09 Jan 07)  
 Sea-level pressure Sea-level pressure



(ก)

MM5-CMU, Atmospheric Physics, Chiang Mai Univ. Init: 0000 UTC Sun 31 Dec 06  
 Fest: 240.00 h Valid: 0000 UTC Wed 10 Jan 07 (0700 LST Wed 10 Jan 07)  
 Sea-level pressure Sea-level pressure



(ก)

รูปที่ 2-9 แสดงความกดอากาศที่ปักคุณประเทศไทย เวลา 07.00 น.

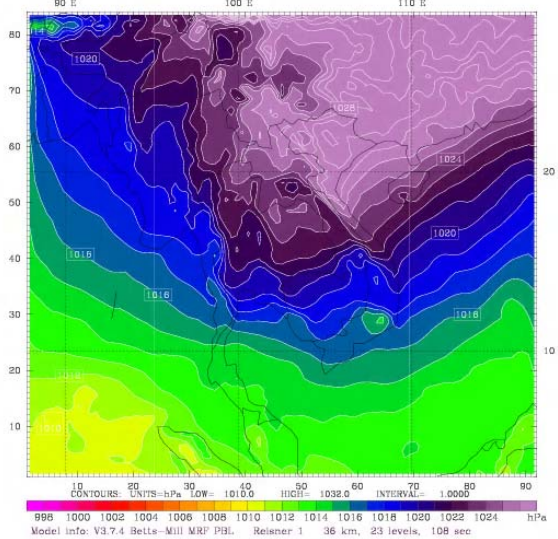
(ก) วันที่ 7 มกราคม พ.ศ.2550

(ค) วันที่ 9 มกราคม พ.ศ.2550.

(ก) วันที่ 8 มกราคม พ.ศ.2550

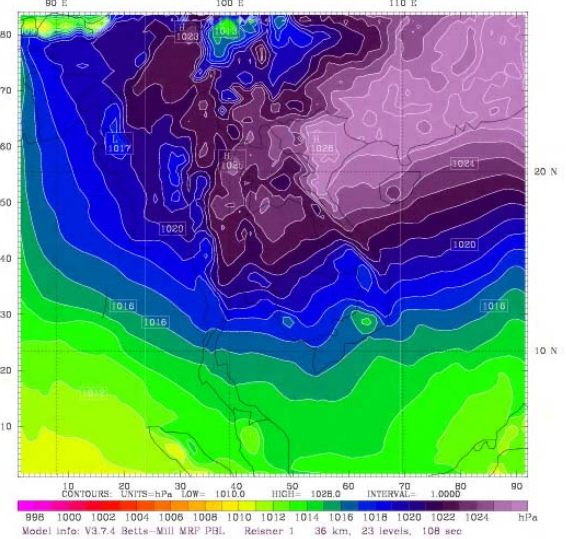
(ก) วันที่ 10 มกราคม พ.ศ.2550

MM5-CMU, Atmospheric Physics, Chiang Mai Univ. Init: 0000 UTC Mon 15 Jan 07  
 Fest: 288.00 h Valid: 0000 UTC Sat 27 Jan 07 (0700 LST Sat 27 Jan 07)  
 Sea-level pressure  
 Sea-level pressure



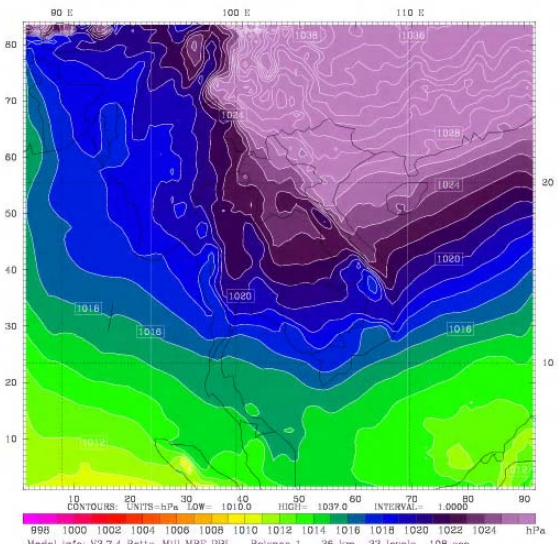
(ก)

MM5-CMU, Atmospheric Physics, Chiang Mai Univ. Init: 0000 UTC Mon 15 Jan 07  
 Fest: 336.00 h Valid: 0000 UTC Mon 29 Jan 07 (0700 LST Mon 29 Jan 07)  
 Sea-level pressure  
 Sea-level pressure



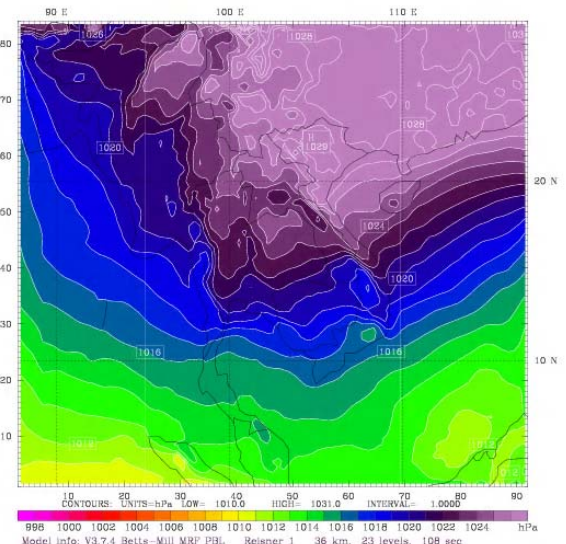
(ก)

MM5-CMU, Atmospheric Physics, Chiang Mai Univ. Init: 0000 UTC Wed 31 Jan 07  
 Fest: 24.00 h Valid: 0000 UTC Thu 01 Feb 07 (0700 LST Thu 01 Feb 07)  
 Sea-level pressure  
 Sea-level pressure



(ก)

MM5-CMU, Atmospheric Physics, Chiang Mai Univ. Init: 0000 UTC Wed 31 Jan 07  
 Fest: 48.00 h Valid: 0000 UTC Fri 02 Feb 07 (0700 LST Fri 02 Feb 07)  
 Sea-level pressure  
 Sea-level pressure



(ก)

รูปที่ 2-10 แสดงความกดอากาศที่ปกคลุมประเทศไทย เวลา 07.00 น.

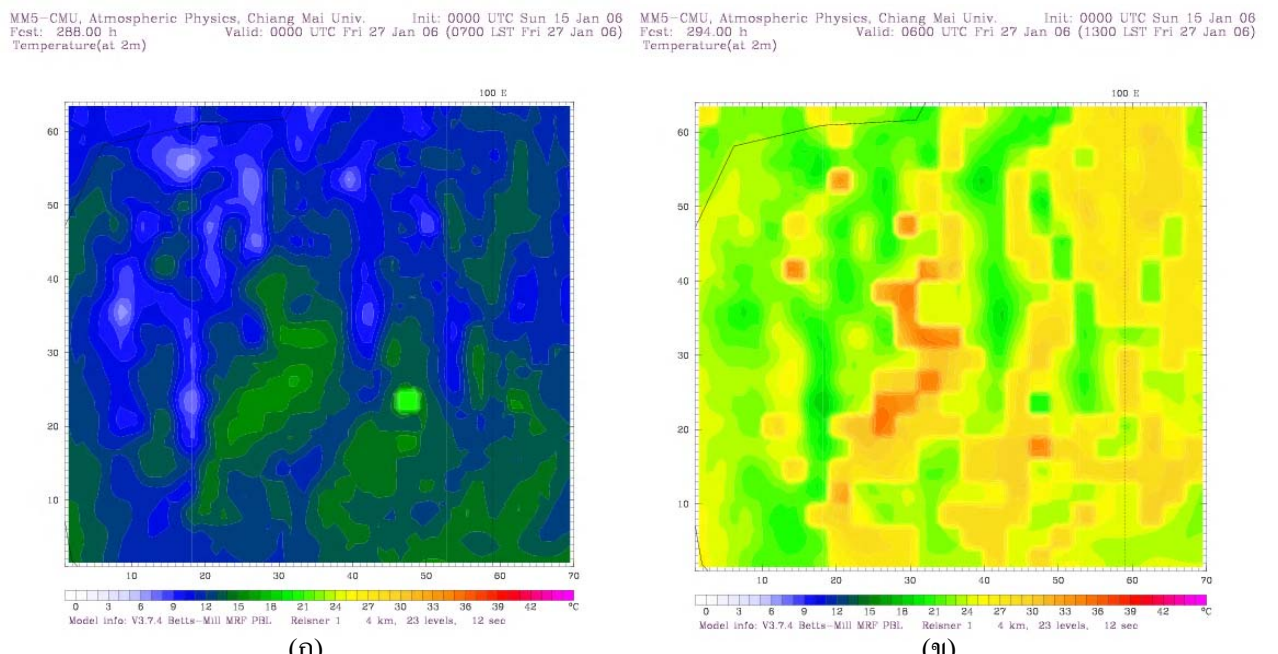
(ก) วันที่ 27 มกราคม พ.ศ.2550 (ก) วันที่ 29 มกราคม พ.ศ.2550

(ก) วันที่ 1 กุมภาพันธ์ พ.ศ.2550 (ก) วันที่ 2 กุมภาพันธ์ พ.ศ.2550

ในช่วงเดือนมกราคม-มีนาคม พ.ศ. 2549 และ 2550 มีความกดอากาศสูงปกคลุมประเทศไทย โดยเฉพาะภาคเหนือตอนบนเป็นเวลานาน และบ่อยครั้งเป็นผลให้บรรยายอากาศชั้นล่างมีสภาพมากเนื่องจากผลของการกดอากาศสูงทำให้อากาศมีการเคลื่อนที่ลง ผู้ประสบภัยจึงไปตามแนวดึงได้ยาก (ในที่นี้ไม่ได้ทำการเปรียบเทียบความกดอากาศที่ได้จากแบบจำลองกับข้อมูลตรวจวัดเนื่องจากไม่มีข้อมูลสภาพอากาศจากกรมอุตุนิยมวิทยา เป็นรายชั่วโมงที่เวลา 07:00 และ เวลา 13:00 น.)

เมื่อเปรียบเทียบความกดอากาศที่ปักคลุมประเทศไทยในปี พ.ศ.2549 และ พ.ศ.2550 พบว่า ปี พ.ศ.2550 ความกดอากาศสูงปกคลุมประเทศไทยนานกว่าและมีกำลังแรงกว่าปี พ.ศ.2549

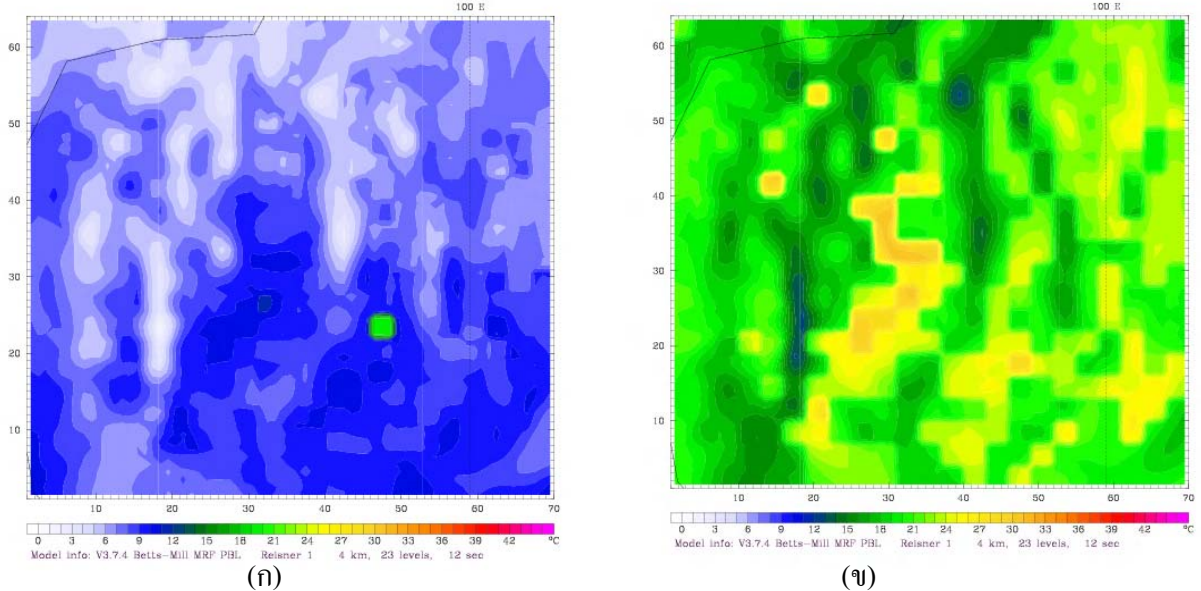
เนื่องจากความกดอากาศสูงกำลังแรงจากประเทศจีนแผ่เข้าปักคลุมประเทศไทย ส่งผลให้ช่วงนี้ แอ่งเชียงใหม่-ลำพูนมีอุณหภูมิต่ำ ผลกระทบแบบจำลอง MM5 พบว่า อุณหภูมิต่ำสุด ในปี พ.ศ.2549 และ พ.ศ.2550 คือ วันที่ 27 มกราคม พ.ศ.2549 ณ เวลา 7.00 น. มีค่าประมาณ 14-17 องศาเซลเซียส เวลา 13.00 น. มีค่าประมาณ 24-30 องศาเซลเซียส ดังรูปที่ 2-11 และวันที่ 29 มกราคม พ.ศ. 2550 ณ เวลา 7.00 น. มีค่าประมาณ 9 – 12 องศาเซลเซียส เวลา 13.00 น. มีค่าประมาณ 21 -28 องศาเซลเซียส ดังรูปที่ 2-12



รูปที่ 2-11 แสดงอุณหภูมิภาคเหนือตอนบน วันที่ 27 มกราคม พ.ศ.2549

(ก) อุณหภูมิ ณ เวลา 07.00 น.      (ข) อุณหภูมิ ณ เวลา 13.00 น.

MM5-CMU, Atmospheric Physics, Chiang Mai Univ. Init: 0000 UTC Mon 15 Jan 07 MM5-CMU, Atmospheric Physics, Chiang Mai Univ. Init: 0000 UTC Mon 29 Jan 07  
 Forecast: 336.00 h Valid: 0000 UTC Mon 29 Jan 07 (0700 LST Mon 29 Jan 07) Forecast: 342.00 h Valid: 0600 UTC Mon 29 Jan 07 (1300 LST Mon 29 Jan 07)  
 Temperature(at 2m)

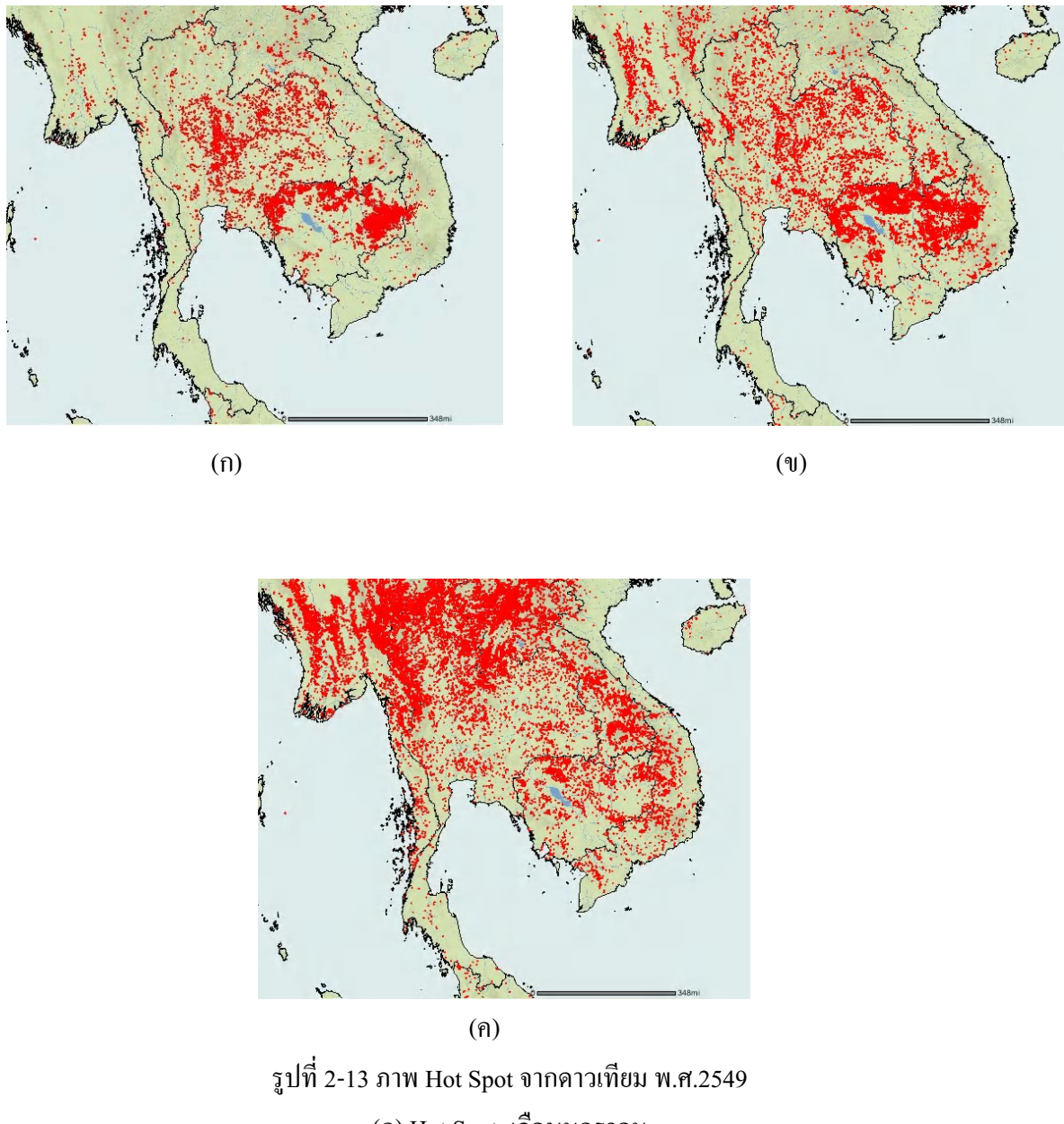


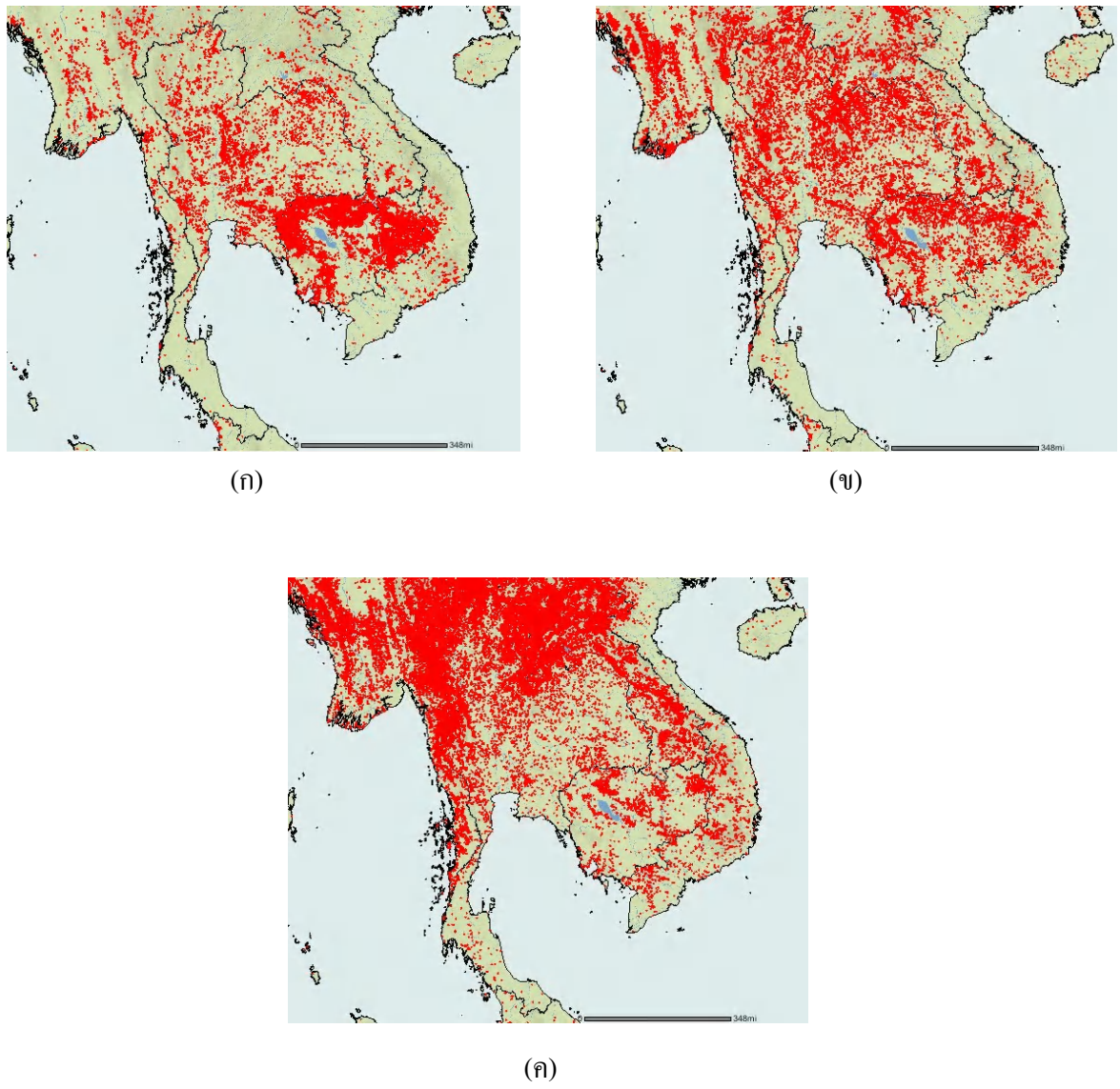
รูปที่ 2-12 แสดงอุณหภูมิภาคเหนือตอนบน วันที่ 29 มกราคม พ.ศ.2550

(ก) อุณหภูมิ เวลา 07.00 น. (ข) อุณหภูมิ เวลา 13.00 น.

### 2.3 ความสัมพันธ์ระหว่างลมผืนกับจุดความร้อนที่เกิดจากการเผาไหม้ (Hot Spot) จากภาพถ่ายดาวเทียม (ที่มา: <http://maps.geog.umd.edu>)

ภาพ Hot Spot จากภาพถ่ายดาวเทียม ในเดือนมกราคม – มีนาคม ในปี พ.ศ.2549 พ.ศ.2550 และ พ.ศ.2551 พบว่า มีพื้นที่ที่เกิดการเผาไหม้เป็นจำนวนมาก โดยเฉพาะเดือนมีนาคมที่เกิดการเผาไหม้มากที่สุดในตอนบนของประเทศไทยทั้งในและนอกบริเวณแอ่งเชียงใหม่-ลำพูน และประเทศไทยเพื่อนบ้านทำให้มีโอกาสที่ปริมาณผู้ประสบภัยในบริเวณแอ่งมีปริมาณเพิ่มขึ้นจากแหล่งกำเนิดนอกบริเวณแอ่งประกอบกับสภาพอากาศมีความแห้งแล้งและอุณหภูมิสูงขึ้น และพ.ศ.2550 มีพื้นที่ที่เกิดการเผาไหม้มากกว่า พ.ศ.2549 และ พ.ศ.2551 ดังรูปที่ 2-13 ถึง 2-15





รูปที่ 2-14 ภาพ Hot Spot จากดาวเทียม พ.ศ.2550

(ก) Hot Spot เดือนมกราคม

(ง) Hot Spot เดือนกุมภาพันธ์

(ค) Hot Spot เดือนมีนาคม